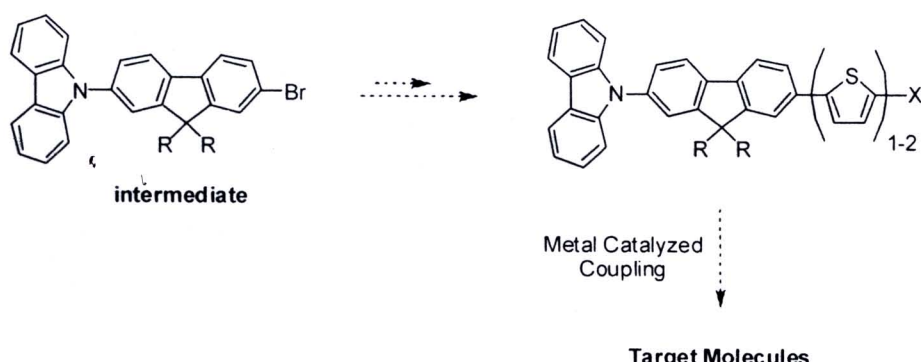


2. ผลการทดลองและวิจารณ์ (Results and Discussion)

2.1 การสังเคราะห์และพิสูจน์เอกสารชั้น (Synthesis and characterization)

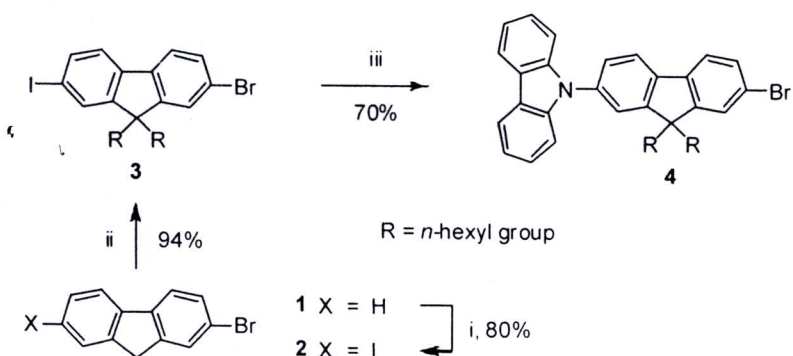
รูปที่ 4 แสดงแนวทางในการสังเคราะห์โมเลกุลสาร โอลิโกเมอร์ เป้าหมาย (target molecules) โดยตำแหน่งที่ 9 ของวง fluorene จะถูกแทนที่ด้วยหนู่อัลคิลสายโซ่ยาว คือหนู่ n-hexyl เพื่อเพิ่มความสามารถในการละลายของสารเป้าหมายในตัวทำละลายอินทรีย์ ซึ่งจะทำให้สามารถขึ้นรูปสาร เป้าหมายเป็นแผ่นฟิล์มนบางได้ง่ายโดยวิธีสารละลาย และนอกจากนี้ยังช่วยให้การสังเคราะห์และการทำสารให้บริสุทธิ์สามารถทำได้โดยง่ายในตัวทำละลายอินทรีย์



รูปที่ 4 แสดงแนวทางการสังเคราะห์สารเป้าหมาย

จากแนวทางการสังเคราะห์สารเป้าหมาย carbazole end-capped oligofluorene-thiophenes 5, 9 และ 12 จะเห็นได้ว่าจะต้องทำการเตรียมสารนี้ขึ้นต์ (intermediate) 2-bromo-7-(carbazol-9-yl)-9,9-bis-n-hexylfluorene (4) ซึ่งเราเคยรายงานการเตรียมสารนี้มา ก่อนหน้านี้ โดยการทำปฏิกิริยา Ullmann condensation ที่มีโลหะ copper เป็นตัวเร่งปฏิกิริยาของ 2,7-dibromo-9,9-bis-n-hexylfluorene กับ 1 สัดส่วนโมลของ carbazole ได้ 2-bromo-7-(carbazol-9-yl)-9,9-bis-n-hexylfluorene (4) ใน เปรอร์เซ็นต์ปานกลาง⁵⁶ อายุ่งไว้กีตามในโครงการวิจัยนี้เราได้พัฒนาวิธีการสังเคราะห์ 2-bromo-7-(carbazol-9-yl)-9,9-bis-n-hexylfluorene (4) ที่ได้เปลี่ยนตัวเป็น iodination ที่เฉพาะของ 2-bromofluorene (1)⁵⁸ ด้วย I₂ และ KIO₃ ในตัวทำละลายผสมของ AcOH และ conc. H₂SO₄ ที่อุณหภูมิ 80 °C ได้ผลิตภัณฑ์จำนวน 80% จากนั้นทำปฏิกิริยา dialkylation ที่ตำแหน่ง C-9 ของวง fluoene ของสาร 2 โดยการทำปฏิกิริยาของสาร 2 กับสารละลายเบส NaOH ในตัวทำละลาย DMSO โดยที่มี triethylbenzylammonium chloride เป็นตัวเร่งปฏิกิริยาระหว่างชั้น (phase transfer catalyst) ซึ่งในขั้นนี้ จะมีการสร้าง fluorenyl anion ตามด้วยการเติม 1-bromohexane ลงไปทำปฏิกิริยาเพื่อให้เกิดเป็นสาร 2-bromo-7-iodo-9,9-bis-n-hexylfluorene (3) ได้สาร 3 เป็นของเหลวหนืดสีเหลืองอ่อนในปรอร์เซ็นต์ที่

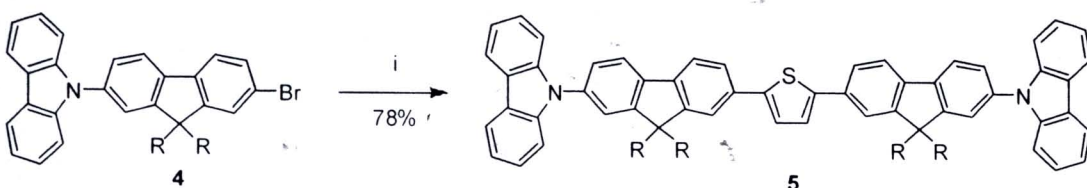
ในขั้นสุดท้ายทำปฏิกิริยา copper-catalyzed Ullmann coupling ของสาร 3 กับ 1 เศษส่วนไมลของ carbazole ในตัวทำละลาย nitrobenzene โดยที่มี Cu-bronze เป็นตัวเร่งปฏิกิริยาและ K_2CO_3 , เป็นเบสภายในตัวทำละลาย carbazole ทำให้ได้ผลิตภัณฑ์ที่เกิดการเข้าของหนึ่ง carbazole ข้างเดียว (mono adduct) คือสาร 4 จำนวน 70% สารที่ได้เป็นของแข็งไม่มีสีซึ่งมีแบบการเคลื่อนที่บนแผ่น TLC และมี MS, 1H - ^{13}C -NMR スペกตรัมที่เหมือนกับสารมาตรฐานที่ได้เคยถูกเตรียมมาแล้ว⁵⁶ สเปกตรัม 1H -NMR ของสาร 4 ที่ได้แสดงสัญญาณพิเศษ doublet สำหรับโปรตرون 4-H และ 5-H ที่สมมาตรกันของวง carbazole ที่ตำแหน่ง chemical shift เท่ากับ 8.19 ppm ($J = 7.8$ Hz) และโปรตرون 4'-H และ 5'-H ซึ่งไม่สมมาตรกันของวง fluorene และแสดงสัญญาณพิเศษที่เป็น doublet สองชุดที่ตำแหน่ง chemical shift 7.89 ppm ($J = 7.8$ Hz) และ 7.65 ppm ($J = 8.4$ Hz) ตามลำดับ।



รูปที่ 5 ไกด์ไลน์แสดงการสังเคราะห์ของสารมัธยัมต์ 4 รีเอเจนท์และสภาวะปฏิกิริยา

(i) I₂, KIO₃, AcOH, conc. H₂SO₄, 80 °C, 20 h; (ii) *n*-C₆H₁₃Br, 50% NaOH, Et₃BnNCl, DMSO, อุณหภูมิห้อง, 15 h; (iii) carbazole, Cu-bronze, K₂CO₃, nitrobenzene, อุณหภูมิจุดเดือด, 24 h

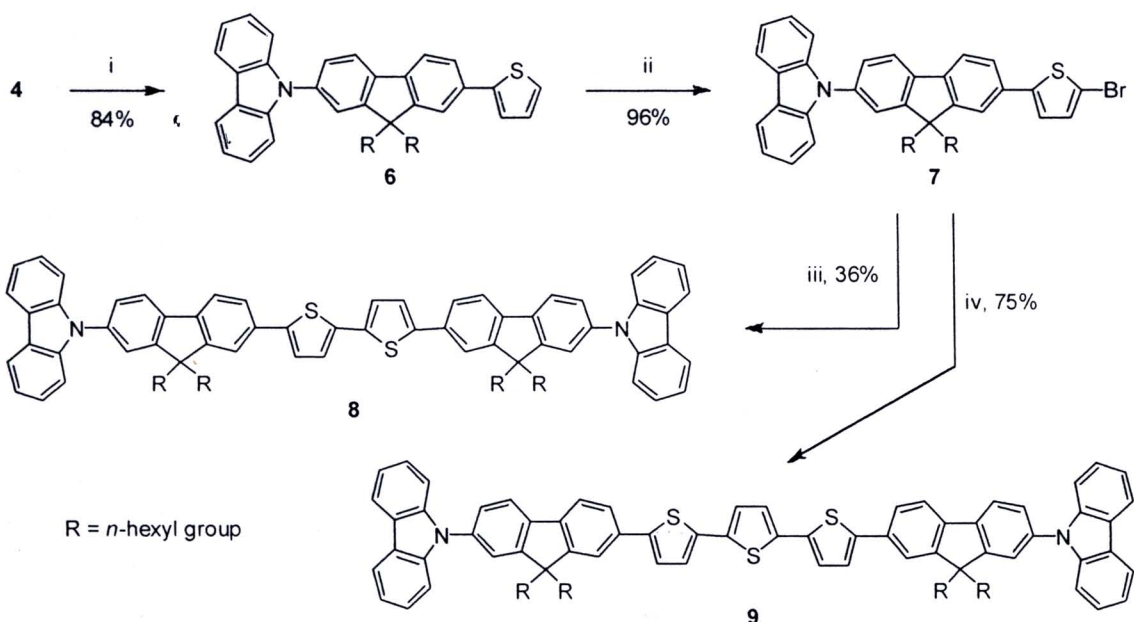
จากนั้น โนเลกุลสาร 2,5-bis[2-(carbazol-9-yl)-9,9-bis-*n*-hexylfluoren-7-yl]thiophene (5) เป้าหมายลูกสังเคราะห์โดยการทำปฏิกิริยา palladium catalyzed Suzuki cross-coupling ของสาร 4 กับ 2,7-thiophenediboronic acid ภายใต้สภาพของปฏิกิริยาที่มี $Pd(PPh_3)_4$ เป็นตัวเร่งปฏิกิริยาและสารละลายน้ำ 2 M Na_2CO_3 เป็นเบสในตัวทำละลาย THF ที่อุณหภูมิจุดเดือด ทำให้ได้สารเป้าหมาย 5 เป็นของแข็งสีเขียว-เหลืองจำนวน 78% (รูปที่ 6)



รูปที่ 6 โครงการแสดงการสังเคราะห์ของสารเป้าหมาย 5 รีอเจนท์และสภาวะปฏิกริยา

(i) 2,5-thiophenediboronic acid, $\text{Pd}(\text{PPh}_3)_4$, 2 M Na_2CO_3 , THF, อุณหภูมิ 60°C , 18 h

การทำปฏิกิริยาแบบ coupling กายใต้สภาวะที่มี $\text{Pd}(\text{PPh}_3)_4$ เป็นตัวเร่งปฏิกิริยาของสารมัธยันต์ 4 ที่ได้กับ 2-thiopheneboronic acid ที่ปริมาณมากเกินพอทำให้ได้สารมัธยันต์ที่มีวง thiophene หนึ่งวง ต่อที่ปลาย 2-[2-(carbazol-9-yl)-9,9-bis-*n*-hexylfluoren-7-yl]thiophene (6) ที่เป็นของแข็งสีเหลืองใส ในเปอร์เซ็นต์ที่ดี หลังจากนั้นทำปฏิกิริยาของสาร 6 ที่ได้กับ NBS ในตัวทำละลายผสมของ $\text{CHCl}_3/\text{AcOH}$ ในอัตราส่วน 1:1 จะทำให้เกิดขบวนการ bromination ซึ่งจะทำให้สามารถเติมหมู่ฟังก์ชัน bromo เข้าไปอย่างจำเพาะเจาะจง โดยอิเล็กโทรไฟล์ที่เป็น bromonium ion ที่ได้จากการอ่อนหัก NBS จะเจาะจงเลือกเข้าทำปฏิกิริยาแทนที่ตรงตำแหน่งที่ 5-position ของวง thiophene ซึ่งแสดงความเป็นนิวคลีโอไฟล์มากที่สุด ทำให้ได้ 2-bromo-5-[2-(carbazol-9-yl)-9,9-bis-*n*-hexylfluoren-7-yl]thiophene (7) เป็นของแข็งสีเขียว-เหลืองจำนวน 96% (รูปที่ 4)



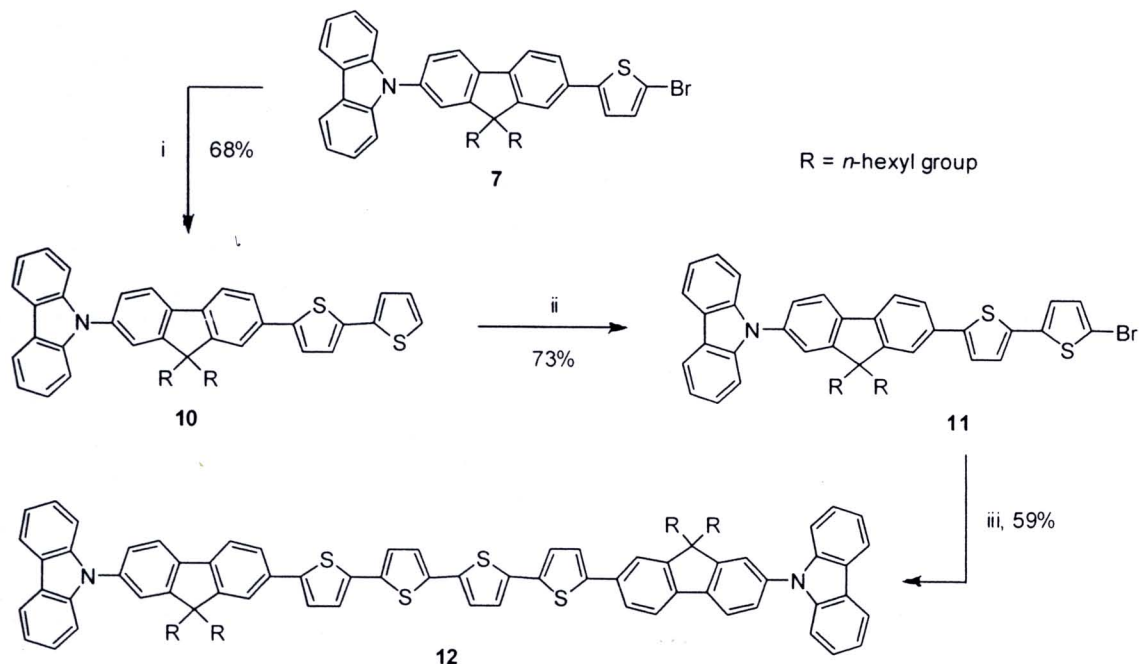
รูปที่ 7 ไดอะแกรมแสดงการสังเคราะห์ของสารเป้าหมาย 8 และ 9 รีเอเจนท์และสภาวะปฏิกิริยา

- (i) 2-thiopheneboronic acid, $\text{Pd}(\text{PPh}_3)_4$, 2 M Na_2CO_3 , THF, อุณหภูมิจุดเดือด, 18 h; (ii) NBS, CHCl_3 , AcOH, อุณหภูมิห้อง, 3 h; (iii) NiCl_2 , PPh_3 , Zn powder, bpy, DMAc, อุณหภูมิ 90°C , 22 h
(iv) 2,5-thiophenediboronic acid, $\text{Pd}(\text{PPh}_3)_4$, 2 M Na_2CO_3 , THF, อุณหภูมิจุดเดือด, 18 h

จากนั้นโน้มเลกุลเป้าหมาย 5,5'-bis[2-(carbazol-9-yl)-9,9-bis-*n*-hexylfluoren-7-yl]-2,2'-bithiophene (8) ถูกสังเคราะห์โดยทำปฏิกิริยาของแบบ reductive nickel-catalyzed dimerization ของสาร 7 ที่ได้ภายใต้สภาวะที่มี NiCl_2 เป็นตัวเร่งปฏิกิริยา ผงของโลหะ zinc เป็นตัวรีดิวเซอร์ และ PPh_3 กับ bipyridine (bpy) เป็นลิเเกนด์ ในตัวทำละลาย DMAc ที่อุณหภูมิ 90°C ทำให้ได้สารเป้าหมาย 8 เป็นของแข็งสีเหลือง-เขียว จำนวน 36% อีกทางหนึ่งการทำปฏิกิริยาแบบ palladium catalyzed Suzuki cross-coupling ของสารมัธยันต์ 7 ที่ได้กับ 2,7-thiophenediboronic acid จะทำให้ได้สารเป้าหมาย 5,5"-bis[2-(carbazol-9-

yl)-9,9-bis-*n*-hexylfluoren-7-yl]-2,2';5',2"-terthiophene (9) โดยการทำปฏิกิริยาโดยใช้สภาวะของปฏิกิริยาที่มี $Pd(PPh_3)_4$ เป็นตัวเร่งปฏิกิริยาและสารละลายน้ำ 2 M Na_2CO_3 เป็นเบสในตัวทำละลาย THF ที่อุณหภูมิจุดเดือด ทำให้ได้สารเป้าหมาย 9 เป็นของแข็งสีเหลืองในเบอร์เชนต์ที่ดี

การทำปฏิกิริยาของสารมัธยันต์ 7 ที่ได้กับ 2-thiopheneboronic acid ที่ปริมาณมากเกินพอต่อไปอีก จะทำให้ได้สารมัธยันต์ที่มีวง thiophene ต่อที่ปลายสองวง ภายใต้สภาวะปฏิกิริยาแบบ coupling ที่มี $Pd(PPh_3)_4$ เป็นตัวเร่งปฏิกิริยาทำให้ได้ 5-[2-(carbazol-9-yl)-9,9-bis-*n*-hexylfluoren-7-yl]-2,2'-bithiophene (10) จำนวน 68%



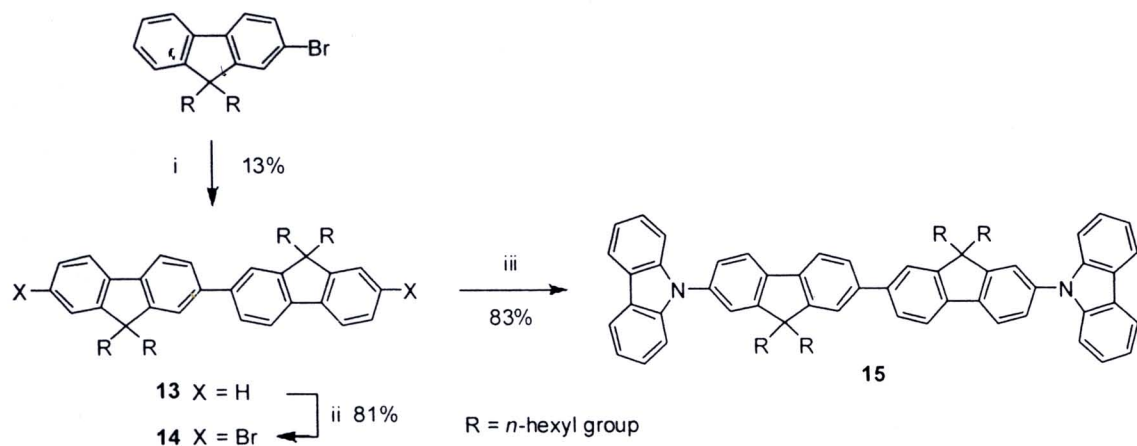
รูปที่ 5 โครงสร้างและการสังเคราะห์ของสารเป้าหมาย 12 รีเอเจนท์และสภาวะปฏิกิริยา

(i) 2-thiopheneboronic acid, $Pd(PPh_3)_4$, 2 M Na_2CO_3 , THF, อุณหภูมิจุดเดือด, 18 h; (ii) NBS, $CHCl_3$, AcOH, อุณหภูมิห้อง, 3 h; (iii) $NiCl_2$, PPh_3 , Zn powder, bpy, DMAc, อุณหภูมิ 90 °C, 22 h

หลังจากนั้นทำปฏิกิริยาของสาร 10 ที่ได้กับ NBS ในตัวทำละลายผสมของ $CHCl_3$ /AcOH ในอัตราส่วน 1:1 จะทำให้เกิดขั้นการ bromination ซึ่งจะทำให้สามารถเติมหมู่ฟังก์ชัน bromo เข้าไปอย่างจำเพาะเจาะจง โดยอิเล็กโทรไฟล์ที่เป็น bromonium ion ที่ได้จากการรีเอเจนท์ NBS จะเจาะจงเลือกเข้าทำปฏิกิริยาแทนที่ตรงตำแหน่งที่ 5-position ของวง thiophene ที่ปลายสุดของโมเลกุล ซึ่งแสดงความเป็นนิวคลีโอไฟล์มากที่สุด ทำให้ได้ 5-bromo-5'-(2-(carbazol-9-yl)-9,9-bis-*n*-hexylfluoren-7-yl]-2,2'-bithiophene (11) เป็นของแข็งสีเหลืองจำนวน 73% (รูปที่ 5) จากนั้น โมเลกุลเป้าหมาย 5,5"-bis[2-(carbazol-9-yl)-9,9-bis-*n*-hexylfluoren-7-yl]-2,2';5',2":5",2""-quaterthiophene (12) ถูกสังเคราะห์โดยทำปฏิกิริยาแบบ reductive nickel-catalyzed dimerization ของสาร 11 ที่ได้ภายใต้สภาวะที่มี $NiCl_2$ เป็นตัวเร่งปฏิกิริยา

ของโลหะ zinc เป็นตัวรีดิวซ์ และ PPh₃ กับ bipyridine (bpy) เป็นลิแกนด์ ในตัวทำละลาย DMAc ที่ อุณหภูมิ 90 °C ทำให้ได้สารเป้าหมาย 12 เป็นของแข็งสีฟ้า จำนวน 59%

นอกจากนี้โมเลกุลสารเป้าหมาย 7,7'-bis(carbazol-9-yl)-2,2'-bis(9,9-bis-*n*-hexylfluorene) (15) ถูกทำการสังเคราะห์ดังแสดงในรูปที่ 9 ในขั้นแรกสาร bi fluorene 13⁵⁹ ถูกทำการ bromination ด้วย Br₂ ภายใต้สภาวะที่มี I₂ เป็นตัวเร่งปฏิกิริยาในตัวทำละลาย CHCl₃ ภายใต้สภาวะของปฏิกิริยานี้หนูพังก์ชัน bromo ถูกแทนที่เข้าไปอย่างจำเพาะเจาะจงที่ตำแหน่ง 7,7'-position ของวง bi fluorene ทำให้ได้ 7,7'-dibromo-2,2'-bis(9,9-bis-*n*-hexylfluorene) (14) เป็นของแข็งไม่มีสีจำนวน 81% นั้นทำปฏิกิริยาของสาร 14 ที่ได้กับ carbazole ในปริมาณที่มากเกินพอ ภายใต้สภาวะที่มี Cu-bronze เป็นตัวเร่งปฏิกิริยา และ K₂CO₃ เป็นเบสที่อุณหภูมิจุดเดือด ทำให้ได้ผลิตภัณฑ์เป้าหมาย 15 ที่มีการเข้าของหมู่ carbazole ทั้งสองข้างเป็นของแข็งสีขาวจำนวน 83%

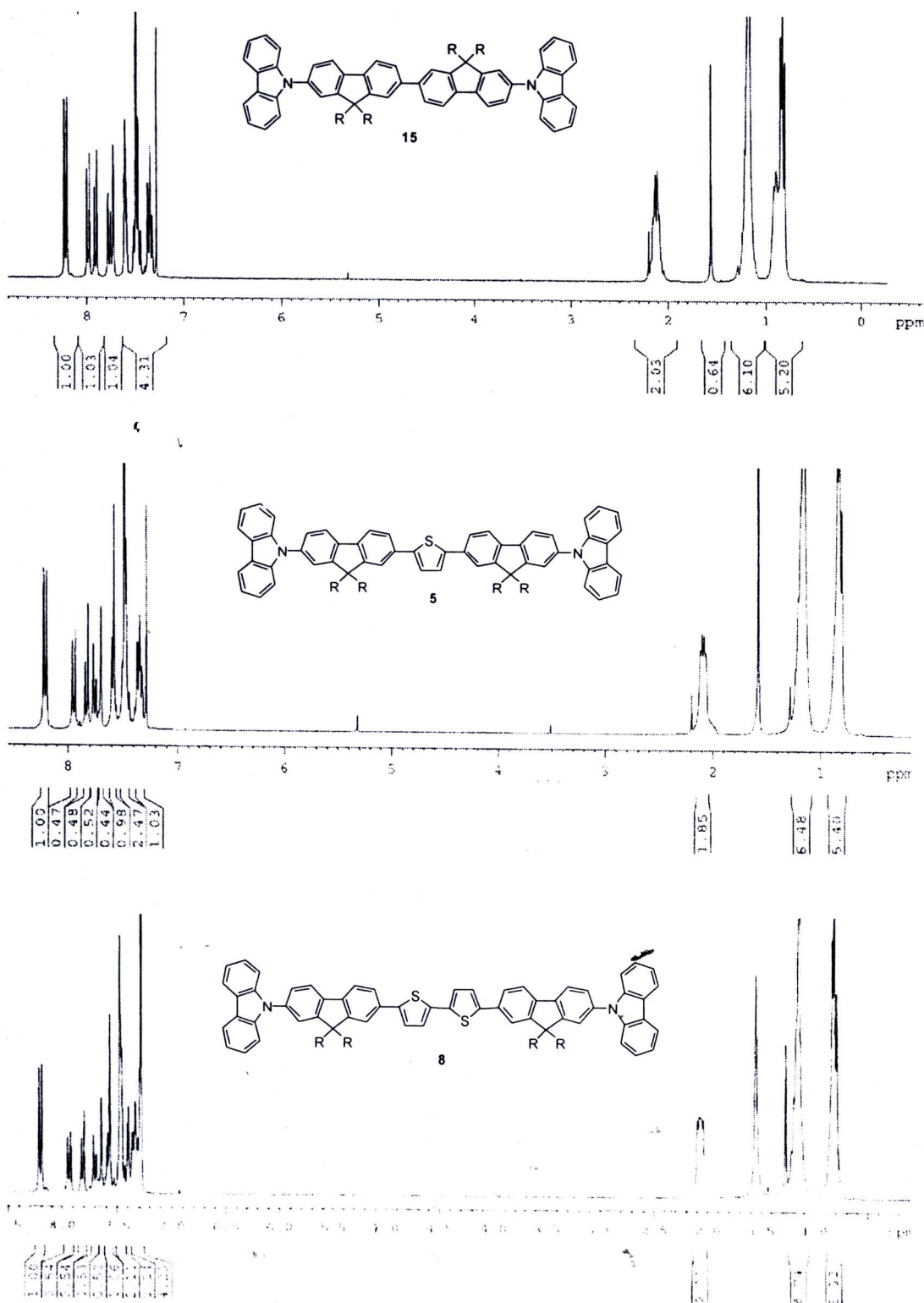


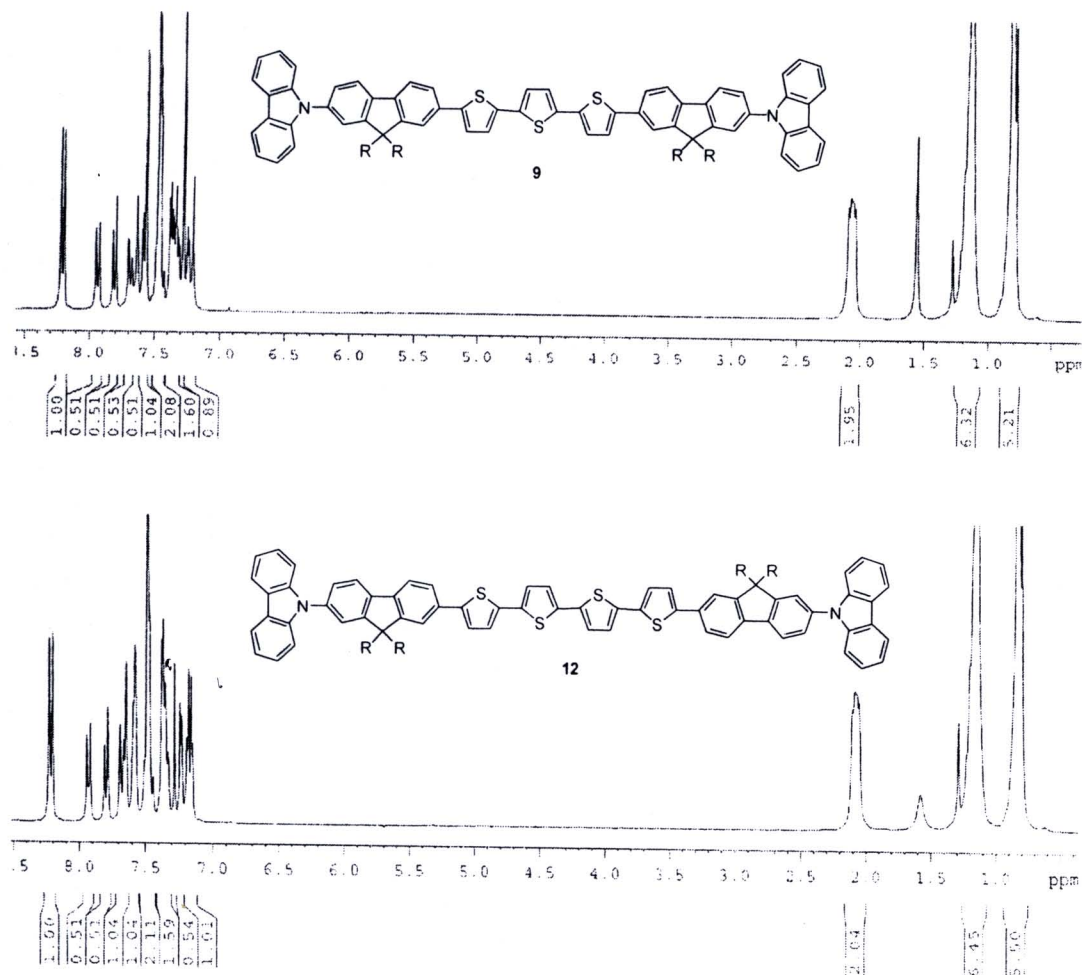
รูปที่ 9 ไดอะแกรมแสดงการสังเคราะห์ของสารเป้าหมาย 15 รีเอjenท์และสภาวะปฏิกิริยา

(i) NiCl₂, PPh₃, Zn powder, bpy, DMAc, อุณหภูมิ 90 °C, 22 h; (ii) Br₂, I₂, CHCl₃, อุณหภูมิห้องในที่มืด 18 h (iii) carbazole, Cu-bronze, K₂CO₃, nitrobenzene, อุณหภูมิจุดเดือด 24 h

การศึกษาสมบัติการละลายเบื้องต้นของโมเลกุลสารเป้าหมายที่ได้ทั้งหมด 5, 8, 9, 12 และ 15 พบว่าสามารถละลายได้ในตัวทำละลายอินทรีย์ส่วนใหญ่ โดยเฉพาะตัวทำละลายในกลุ่มที่มีคลอรีนเป็นองค์ประกอบ (chlorinated solvent) โครงสร้างทางเคมีของสารเป้าหมายที่ได้ถูกทำการยืนยันด้วยเทคนิคต่างๆ ได้แก่วิธี High resolution mass spectrometry (HRMS), infrared spectroscopy (IR), ¹H- และ ¹³C-Nuclear magnetic resonance (NMR) โดยลักษณะของสเปกตรัม ¹H-NMR ที่เป็นเอกลักษณ์ของสาร carbazole-end capped oligomers 5, 8, 9, 12 และ 15 เหล่านี้แสดงสัญญาณพีคที่เป็น doublet ของโปรตอน 4-H และ 5-H ที่สมมาตรกันของวง carbazole ที่ต่ออยู่ที่ตำแหน่งปลายทั้งสองข้างของโมเลกุล ที่ตำแหน่ง chemical shift ในช่วงประมาณ 8.20-8.22 ppm (*J* = 7.5-7.8 Hz) ส่วนสัญญาณพีคของโปรตอน 4'-H และ 5'-H ที่ไม่สมมาตรกันของวง fluorene จะปรากฏเป็นพีค doublet

สองชุดที่ตำแหน่ง chemical shifts ในช่วงประมาณ 7.77-7.90 ppm ($J = 7.8\text{-}8.1 \text{ Hz}$) และ 7.91-7.97 ppm ($J = 7.4\text{-}8.7 \text{ Hz}$) ตามลำดับ (รูปที่ 10)

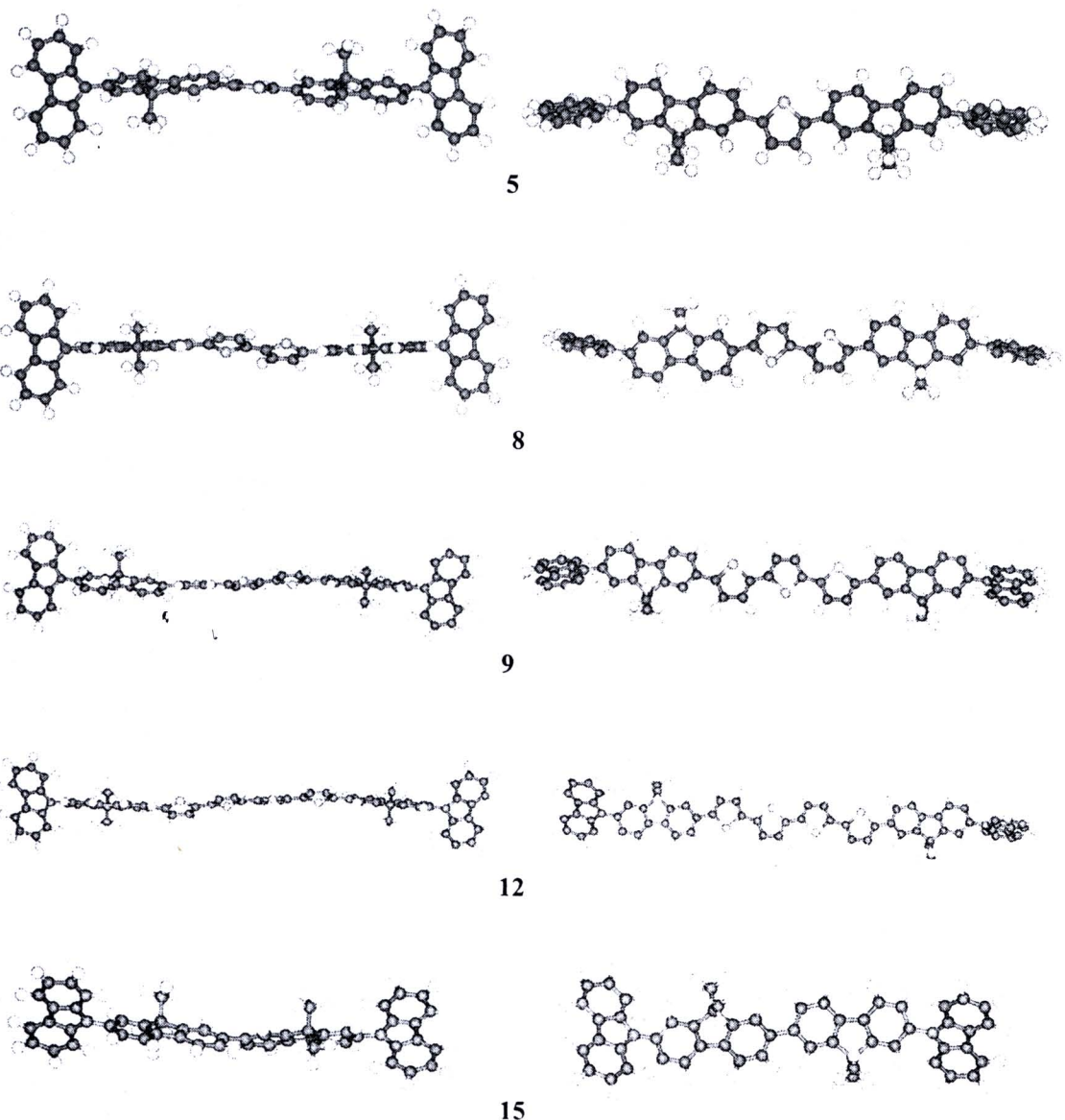




รูปที่ 10 ^1H -NMR สเปกตรัมของสารเป้าหมาย ในตัวทำละลาย CDCl_3

2.2 การคำนวณทางทฤษฎี (Theoretical calculation)

การทำการคำนวณทางเคมีความตัน จึงให้เราเข้าใจถึงสมบัติทางอิเล็กทรอนิกส์และการจัดเรียงตัวในที่ว่างของสารเป้าหมายที่ได้ 5, 8, 9, 12 และ 15 โดยในกระบวนการคำนวณการจัดเรียงตัวในระดับ พลังงานพื้น (ground state geometries) ของสาร 5, 8, 9, 12 และ 15 จะถูกคำนวณด้วยวิธี density functional theory (DFT) ที่ระดับ B3LYP/6-31G (d,p) ในระบบ Gaussian 03⁶⁰ การคำนวณด้วย TDDFT/B3LYP ของระดับพลังงานกระแสที่ต่ำที่สุดถูกคำนวณกับโครงสร้างของการจัดเรียงตัวในระดับพลังงานพื้นที่เสถียรที่สุด โดยโครงสร้างของการจัดเรียงตัวในระดับพลังงานพื้นที่เสถียรที่สุดของสารเป้าหมายแต่ละโมเลกุลแสดงในรูปที่ 11 ซึ่งแสดงให้เห็นว่าส่วนของวง carbazole ที่ต่อตรงกับแน่นป้ายทั้งสองข้างของโมเลกุลมีลักษณะที่แบบราบ และรูนูนของวงมีการวางตัวในแนวเกือบตั้งตั้งจากกับรูนูนของโครงสร้างที่เป็นแกนกลางของ oligofluorene-thiophene ดังนั้นตามลักษณะการจัดเรียงตัวของโครงสร้างในรูปแบบนี้ เราคาดว่าระบบคอนจูเกชันหรือการเคลื่อนที่ของไฟ-อิเล็กตรอนไปมาระหว่างส่วนของวง carbazole และส่วนของโมเลกุลที่เป็นแกนกลางน่าจะไม่เกิดขึ้นเนื่องจากไฟ-อิเล็กตรอนไม่สามารถเคลื่อนที่ผ่านไฟได้



รูปที่ 11 การจัดเรียงตัวในระดับพลังงานพื้นของสารเป้าหมาย 5, 8, 9, 12 และ 15

จากการคำนวณด้วยวิธี TDRET/B3LYP

อย่างไรก็ตาม เมื่อพิจารณาการกระจายตัวของอิเล็กตรอนในออร์บิทัลของระดับพลังงาน HOMO ของแต่ละโมเลกุล (รูปที่ 12) พบร่วมกับการกระจายตัวของไฟ-อิเล็กตรอนทั้งในส่วนของโมเลกุลแกนกลาง oligofluorene-thiophene และส่วนของวง carbazole ซึ่งแสดงให้เห็นว่ามีการเคลื่อนที่ของไฟ-อิเล็กตรอนไปมาหรือมีระบบคอนจูกชันระหว่างส่วนของวง carbazole และส่วนของโมเลกุลที่เป็นแกนกลาง การเกิดปรากฏการณ์นี้สามารถอธิบายได้โดยไฟ-อิเล็กตรอนของทั้งสองส่วนถูกเชื่อมโยงเข้าด้วยกัน โดยคู่อิเล็กตรอนอิสระ (lone pair electron) ของ N-อะตอมของวง carbazole กล่าวคือคู่อิเล็กตรอนอิสระของ N-อะตอมของวง carbazole ทำหน้าที่เป็นสะพานเชื่อมทำให้เกิดการเคลื่อนที่ของไฟ-อิเล็กตรอนไปมา หรือมีระบบคอนจูกชันระหว่างส่วนของวง carbazole และส่วนของ

โนเมเลกุลที่เป็นแกนกลาง โดยผลการคำนวณนี้สามารถยืนยันหรือเห็นได้ชัดโดยผลการทดลอง เช่น พิคการคุณค่าลีนแสงของโนเมเลกุลเป้าหมายน่าจะเกิดการเลื่อนไปทิศทางที่มีความยาวคลื่นสูงขึ้น หรือเรียกว่าเกิด red-shift เมื่อเปรียบเทียบกับスペกตรัมการคุณค่าลีนแสงของโนเมเลกุลที่มีโครงสร้างเหมือนกันแต่ไม่มีหมู่ carbazole ต่อที่ปลายหั้งสองข้าง โดยการเกิด red shift ของスペกตรัมนี้ก็เนื่องมาจากการมีหมู่ให้อิเล็กตรอนที่ดีอย่าง carbazole ที่ปลายหั้งสองข้างของโนเมเลกุล



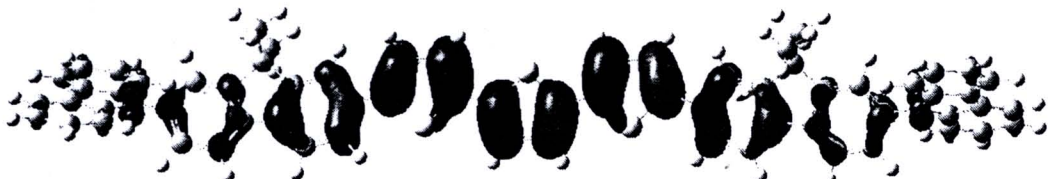
15



5



8



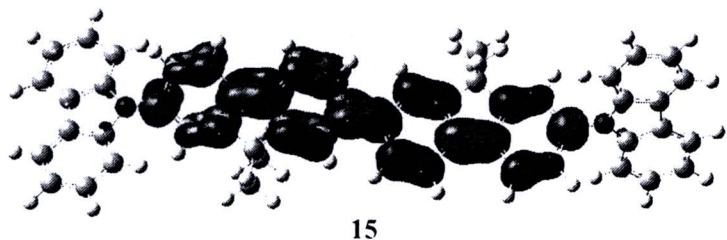
9



12

รูปที่ 12 กระจายตัวของอิเล็กตรอนในออร์บิทัลของระดับพลังงาน HOMO ของสารเป้าหมาย 5, 8, 9, 12 และ 15

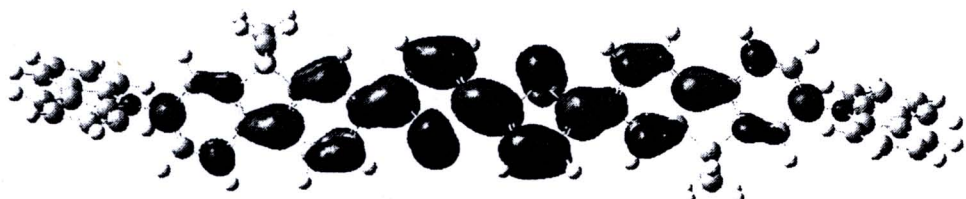
เมื่อพิจารณาความหนาแน่น (electron density) หรือการกระจายตัวของอิเล็กตรอน (electron delocalization) ในออร์บิทัลของระดับพลังงาน HOMO ของสารเป้าหมาย พบว่าความหนาแน่นหรือการกระจายตัวของอิเล็กตรอนในวง carbazole มีการลดลงอย่างต่อเนื่องเมื่อจำนวนของวง thiophene ในโมเลกุลเพิ่มขึ้น



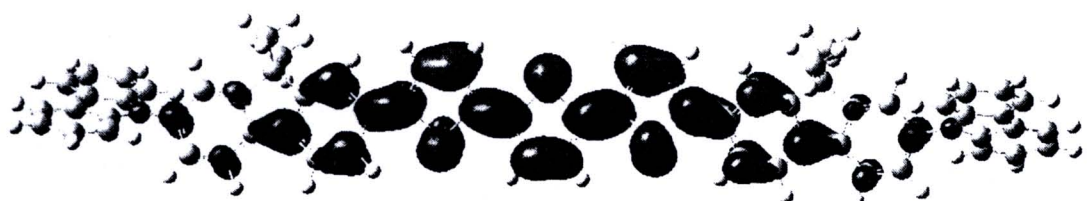
15



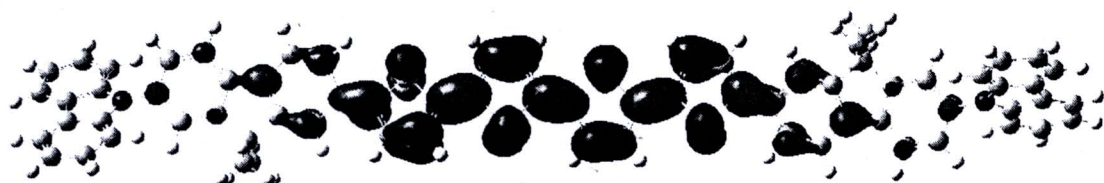
5



8



9



12

รูปที่ 13 การกระจายตัวของอิเล็กตรอนในออร์บิทัลของระดับพลังงาน LUMO ของสารเป้าหมาย 5, 8, 9, 12 และ 15

จากการขัดเรียงตัวของ โมเลกุลที่เสถียรที่สุดในระดับพลังงาน HOMO ของแต่ละโมเลกุล พบว่า ออร์บิทัลที่เกิดพันธะ (bonding orbitals) จะอยู่ที่ตำแหน่งของพันธะ C=C อะตอมและส่วนที่เป็น ออร์บิทัลที่ไม่เกิดพันธะ (antibonding orbitals) จะอยู่ที่ตำแหน่งของพันธะ C-C อะตอม (รูปที่ 12) แต่ ในทางตรงกันข้ามจากการขัดเรียงตัวของ โมเลกุลที่เสถียรที่สุดในระดับพลังงาน LUMO ของแต่ละ โมเลกุล พบว่า ออร์บิทัลที่เกิดพันธะจะอยู่ที่ตำแหน่งของพันธะ C-C อะตอมและส่วนที่เป็น ออร์บิทัลที่ ไม่เกิดพันธะจะอยู่ที่ตำแหน่งของพันธะ C=C อะตอม (รูปที่ 13)

นอกจากนี้พบว่า การกระจายตัวของ ไฟ-อิเล็กตรอน ในระดับพลังงาน HOMO ของทุกโมเลกุล จะแผ่กระจายออกครอบคลุมตั้งแต่ส่วนของ โครงสร้างแกนกลาง oligofluorene-thiophene ไปถึงส่วน ของหมู่ปิคท์ไบ carbazole ทั้งสองข้าง โดยในขณะที่การกระจายตัวของ ไฟ-อิเล็กตรอน ในระดับ พลังงาน LUMO จะอยู่แต่ที่ในส่วนของ โครงสร้างแกนกลาง oligofluorene-thiophene เท่านั้น ดังนั้น การเคลื่อนที่ของ อิเล็กตรอนระหว่างระดับพลังงาน HOMO-LUMO น่าจะทำให้เกิดการเปลี่ยนแปลงใน การกระจายตัวของประจุใน โมเลกุลของสาร 5, 8, 9, 12 และ 15 อย่างมาก

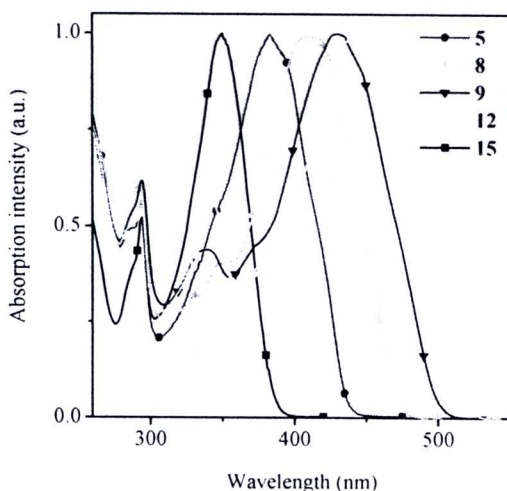
ค่าผลต่างของระดับพลังงาน HOMO-LUMO หรือค่าพลังงาน Eg ของสารเป้าหมาย 5, 8, 9, 12 และ 15 แต่ละ โมเลกุลที่ได้จากการคำนวณทางเคมีความตื้น ด้วยวิธี TDDFT/B3LYP มีค่าเท่ากับ 2.98, 2.78, 2.52, 2.40 และ 3.25 ตามลำดับ (ตารางที่ 1) ผลที่ได้แสดงให้เห็นว่า ค่าพลังงาน Eg ของสารจะมี ค่าลดลงอย่างต่อเนื่องเมื่อจำนวนของวง thiophene ภายใน โมเลกุลเพิ่มขึ้น โดยพบว่า ค่าพลังงาน Eg ของสารที่ได้จากการคำนวณนี้ มีค่าเบี่ยงเบนเพียงเล็กน้อยประมาณ 0-0.15 eV จากค่าพลังงาน Eg ของ สารที่ได้จากการทดลองที่คำนวณจากความยาวคลื่นของการดูดกลืนแสงเริ่มต้น (onset of absorption) ของスペกตรัมการดูดกลืนแสง ทั้งนี้อาจเนื่องมาจากการวัดข้อมูลที่ไม่ถูกต้อง ในการคำนวณที่ สามารถทำให้เกิดความคลาดเคลื่อนของผลที่ได้

2.3 สมบัติทางแสง (Optical properties)

สมบัติทางแสงของสารเป้าหมาย carbazole end-capped oligomers 5, 8, 9, 12 และ 15 ที่ สังเคราะห์ได้ ถูกทำการศึกษาโดยอาศัยเทคนิค UV-vis absorption และ photoluminescence (PL) สเปก โตรสโคปี ในรูปสารละลายเจือจางในตัวทำละลาย dichloromethane (CH_2Cl_2) และในรูปของฟิล์มบาง บนแผ่นควอทท์ โดยที่ทุกๆ สเปกตรัมถูกปรับความเข้มของการดูดกลืนแสงให้เป็นหน่วยที่เท่ากัน (normalized intensity) ทั้งนี้เพื่อการเปรียบเทียบผลการศึกษาที่ได้แสดงในรูปที่ 14, 15 และข้อมูลถูก สรุปในตารางที่ 1

สเปกตรัมการดูดกลืนแสงของสาร 5, 8, 9, 12 และ 15 ในสารละลาย dichloromethane (รูปที่ 14) แสดงสองช่วงการดูดกลืนหลัก กล่าวคือ พิกัดการดูดกลืนที่ความยาวคลื่น 294 nm ซึ่งเป็นการ ดูดกลืนที่เกิดเนื่องจากการเคลื่อนที่ของ อิเล็กตรอนจาก $\pi-\pi^*$ ของ อิเล็กตรอนภายใน carbazole ที่อยู่ ตำแหน่งปลายทั้งสองข้างของ โมเลกุล และ พิกัดการดูดกลืนที่มีลักษณะพิเศษกว่า ที่ความยาวคลื่น

สูงกว่า ซึ่งเป็นการคุณลักษณะที่เกิดเนื่องจากการเคลื่อนที่ของอิเล็กตรอนจาก π - π^* ของอิเล็กตรอนภายในโครงสร้างแกนที่เป็นคอนจูกเกชัน (conjugated backbone) สเปกตรัมการคุณลักษณะแสงของสารเป้าหมาย 5, 8, 9, 12 และ 15 แสดงพื้นการคุณลักษณะแสงสูงสุดที่เกิดจากการเคลื่อนที่ของอิเล็กตรอนจาก π - π^* ของ อิเล็กตรอนภายในโครงสร้างแกนที่เป็นคอนจูกเกชัน ที่ 382, 411, 430, 446 และ 349 nm ตามลำดับ จาก สเปกตรัมที่ได้ จะเห็นได้ว่าพื้นการคุณลักษณะแสงสูงสุดเกิดการเลื่อนไปทางที่มีความยาวคลื่นสูงขึ้น หรือเรียกว่าเกิด red-shift เมื่อจำนวนของวง thiophene ภายในโมเลกุลเพิ่มขึ้น ทั้งนี้เนื่องมาจากการ ข่าวของโครงสร้างแกนที่เป็นคอนจูกเกชันภายในโมเลกุลเพิ่มขึ้น โดยเรียงเป็นลำดับจากน้อยไปมาก ได้ดังนี้ $15 < 5 < 8 < 9 < 12$ จากผลที่ได้แสดงว่าการเพิ่มจำนวนของวง thiophene ในโครงสร้างของ โมเลกุลจะทำให้เพิ่มความยาวของระบบคอนจูกเกชันในโมเลกุล



รูปที่ 14 สเปกตรัมการคุณลักษณะแสงของสารเป้าหมาย 5, 8, 9, 12 และ 15

ในสารละลายน้ำของ dichloromethane

เมื่อเปรียบเทียบสเปกตรัมการคุณลักษณะแสงของสารเป้าหมาย 5, 8, 9, 12 และ 15 กับโมเลกุลที่มี โครงสร้างเหมือนกันแต่ไม่มีหมู่ carbazole ต่อที่ปลายทั้งสองข้าง ได้แก่ oligofluorene-thiophene (374 nm), oligofluorene-bithiophene (404 nm), oligofluorene-terthiophene (425 nm), oligofluorene-quarterthiophene (442 nm)⁴⁰ และ bifluorene (329 nm)⁶¹ พบว่าพื้นการคุณลักษณะแสงของโมเลกุล เป้าหมายเกิดการเลื่อนไปทางที่มีความยาวคลื่นสูงขึ้น หรือเรียกว่าเกิด red-shift ประมาณ 4-20 nm การเกิด red shift ของสเปกตรัมนี้เนื่องมาจากการมีหมู่ให้อิเล็กตรอนที่ดีอย่าง carbazole ที่ปลายทั้งสอง ข้างของโมเลกุล เหมือนผลที่สังเกตฯ ได้จากการศึกษาด้วยการคำนวณทางเคมีคอมพิวเตอร์ พบว่า π - อิเล็กตรอนมีการเคลื่อนที่ระหว่างหมู่ที่เป็นโครงสร้างแกนที่เป็นคอนจูกเกชันทั้งหมดและวง carbazole โดยผ่านอิเล็กตรอนคู่อิสระของในโครงสร้างอะตอมของวง carbazole ซึ่งส่งผลทำให้มีการลดลงของ ระดับพลังงาน HOMO และ LUMO และนำไปสู่การลดลงของค่าพลังงาน Eg แต่อย่างไรก็ตามผลการ

เพิ่มค่อนจุเกชันภายในโมเลกุลของหมู่ carbazole ก็ยังน้อยกว่าผลการเพิ่มค่อนจุเกชันเนื่องจากการเพิ่มจำนวนของวง thiophene ในโมเลกุล โดยการเพิ่มจำนวนของวง thiophene หนึ่งในโมเลกุลในโครงสร้างมีผลทำให้เกิด red shift ของสเปกตรัมการดูดกลืนแสงประมาณ 33-14 nm โดยผลนี้จะมีค่ามากเมื่อจำนวนวง thiophene ในโครงสร้างโมเลกุลน้อยๆ

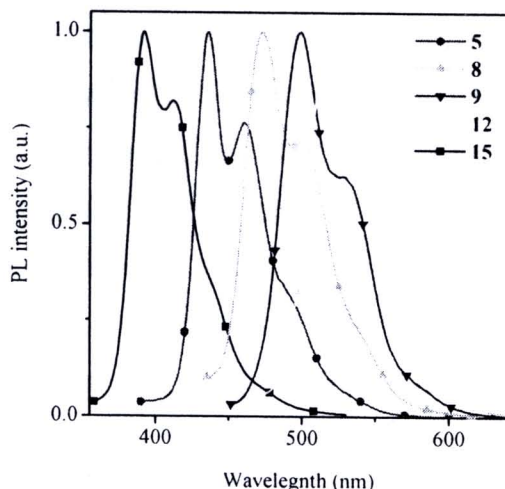
ค่าระดับพลังงาน E_g ของสารเป้าหมาย 5, 8, 9, 12 และ 15 สามารถคำนวณได้จากค่าความยาวคลื่นของการดูดกลืนแสงเริ่มต้น (onset of absorption) ของสเปกตรัมการดูดกลืนแสง ดังสมการ

$$E_g = \frac{1240}{\lambda_{\text{onset}}}$$

ค่าระดับพลังงาน E_g ที่ได้จากการทดลองของสารเป้าหมาย 5, 8, 9, 12 และ 15 เท่ากับ 2.84, 2.63, 2.49, 2.40 และ 3.20 eV ตามลำดับ โดยค่าที่ได้สอดคล้องกับค่าที่ได้จากการคำนวณทางเคมีความตันด้วยวิธี TDDFT/B3LYP (แต่งในตารางที่ 1) พนว่าค่าระดับพลังงาน E_g มีแนวโน้มลดลงเมื่อความยาวของระบบค่อนจุเกชันหรือจำนวนของวง thiophene ในโมเลกุลเพิ่มขึ้น

การศึกษาสมบัติการเรืองแสงแบบฟลูออเรสเซนซ์ของสารเป้าหมาย 5, 8, 9, 12 และ 15 ในรูปสารละลายเจือจางของตัวทำละลาย dichloromethane ด้วยเทคนิคฟลูออเรสเซนซ์สเปกโตรสโคปี (fluorescence spectroscopy) เมื่อกระตุ้น (excitation) โมเลกุลที่ค่าความยาวคลื่นของการดูดกลืนแสงสูงสุด สเปกตรัมการเรืองแสงของสาร 5, 8, 9, 12 และ 15 อยู่ในช่วงแสงสีน้ำเงิน-สีฟ้า ดังแสดงในรูปที่ 15 และรูปในตารางที่ 1 ค่าความยาวคลื่นที่การเรืองแสงสูงสุดของสาร 5, 8, 9, 12 และ 15 เท่ากับ 435, 472, 498, 518 และ 391 nm ตามลำดับ โดยค่าความยาวคลื่นที่การเรืองแสงสูงสุดเกิดการเลื่อนไปทิศทางที่มีความยาวคลื่นสูงขึ้น หรือเรียกว่าเกิด red-shift หรือสีของการเรืองแสงของสารเปลี่ยนจากสีน้ำเงินไปสู่สีฟ้า เมื่อจำนวนของวง thiophene ภายในโมเลกุลเพิ่มขึ้น เมื่อนอกับที่พบในกรณีของสเปกตรัมการดูดกลืนแสงของสาร ทั้งนี้เนื่องมาจากการเรืองแสงของโครงสร้างแกนที่เป็นค่อนจุเกชันภายในโมเลกุลเพิ่มขึ้น โดยเรียงเป็นลำดับค่าความยาวคลื่นที่การเรืองแสงสูงสุดจากน้อยไปมากได้ดังนี้ $15 < 5 < 8 < 9 < 12$ จากผลที่ได้แสดงว่าการเพิ่มจำนวนของวง thiophene ในโครงสร้างของโมเลกุลจะทำให้เพิ่มความยาวของระบบค่อนจุเกชันในโมเลกุล เมื่อเปรียบสเปกตรัมการเรืองแสงของสารเป้าหมาย 5, 8, 9, 12 และ 15 กับโมเลกุลที่มีโครงสร้างเหมือนกันแต่ไม่มีหมู่ carbazole ต่อที่ปลายทั้งสองข้าง พนว่าพื้นที่การเรืองแสงของโมเลกุลเป้าหมายเกิดการเลื่อนไปทิศทางที่มีความยาวคลื่นสูงขึ้น หรือเรียกว่าเกิด red-shift ประมาณ $3-11 \text{ nm}^{40,56}$ ซึ่งสอดคล้องกับผลที่สังเกตได้จากการศึกษาการดูดกลืนแสงและการคำนวณทางเคมีความตัน เมื่อทำการกระตุ้นโมเลกุลที่ความยาวคลื่น 249 nm ซึ่งเป็นตำแหน่งการดูดกลืนแสงของวง carbazole พนว่าสเปกตัมการเรืองแสงที่ได้เมื่อนอกับสเปกตัมการเรืองแสงที่เกิดจากการกระตุ้นที่ความยาวคลื่นของการดูดกลืนแสงสูงสุด ผลที่ได้แสดงให้เห็นว่ามีการถ่ายเทหรือเคลื่อนย้ายอิเล็กtronจากวง carbazole ที่ปลายเมื่อเกิดการกระตุ้นไปยังส่วนของโครงสร้าง

แกนกลางและทำให้เกิดการเรืองแสงของส่วนที่เป็นโครงสร้างแกนที่เป็นคอนจูเกชัน



‘ รูปที่ 15 สเปกตรัมการเรืองแสงของสารเป้าหมาย 5, 8, 9, 12 และ 15

ในสารละลายน้ำของ dichloromethane

เมื่อพิจารณาปัจจุบันสเปกตรัมการเรืองแสงของสารเป้าหมาย พนวณว่าสเปกตรัมการเรืองแสงของสาร 5, 8 และ 15 ซึ่งเป็นโนมเลกุลที่มีขนาดเล็ก มีวง thiophene ในโนมเลกุลเท่ากับ 0-2 วง มีลักษณะเป็น 2 พีคที่แยกจากกัน คือพีคที่มีความเข้มสูงและพีคที่มีความเข้มต่ำที่ความยาวคลื่นสูงกว่า แต่ในสเปกตรัมการเรืองแสงของสาร 9 และ 12 ซึ่งเป็นโนมเลกุลที่มีขนาดใหญ่ มีวง thiophene ในโนมเลกุลเป็น 3-4 วง พีคทั้งสองรวมกันเป็นพีคเดียว โดยพีคที่มีความเข้มต่ำที่ความยาวคลื่นสูงกว่าปรากฏในรูปของไหลพีค (peak shoulder) ผลที่ได้แสดงว่าโนมเลกุลสาร สาร 9 และ 12 มีการกระจายของรูปปัจจุบันโนมเลกุลในสภาวะพื้นและสภาวะเร้าที่มากกว่า ผลที่ได้ถูกสนับสนุนจากการคำ stokes' shift ระหว่างสเปกตรัมการเรืองแสงและสเปกตรัมการดูดกลืนแสงของสารแต่ละตัว โดยพบว่าคำ stokes' shift ของสารเป้าหมาย 5, 8, 9, 12 และ 15 มีค่าอยู่ในช่วง 41 ถึง 78 nm (แสดงในตารางที่ 1) และพบว่าค่านี้จะเพิ่มขึ้นอย่างต่อเนื่องตามการเพิ่มจำนวนของวง thiophene ในโครงสร้างของโนมเลกุล หรือความยาวของโครงสร้างแกนที่เป็นคอนจูเกชันภายในโนมเลกุลเพิ่มขึ้น โดยเรียงเป็นลำดับคำ stokes' shifts จากน้อยไปมากได้ดังนี้ $15 < 5 < 8 < 9 < 12$ ซึ่งสิ่งนี้แสดงให้เห็นว่ามีการเปลี่ยนแปลงตำแหน่งของอะตอมในโนมเลกุลที่สภาวะพื้นและสภาวะเร้าอย่างเห็นได้ชัด

การศึกษาด้วยเทคนิคฟลูออเรสเซนซ์สเปกโตรสโคปี (fluorescence spectroscopy) ของสารเป้าหมาย 5, 8, 9, 12 และ 15 พนวณว่าสารทั้งหมดเรืองแสงที่ค่อนข้างโดยสีของการเรืองแสงอยู่ในช่วงแสงสีน้ำเงิน-สีฟ้า เมื่อทำการวัดคำประสิทธิภาพในการเรืองแสงแบบฟลูออเรสเซนซ์ (fluorescence quantum yields, Φ_f) ของสารเหล่านี้ในรูปปัจจุบันสารละลายน้ำของ dichloromethane โดยทำการวัดเปรียบเทียบกับสารมาตรฐาน quinine sulfate hydrate ในสารละลายน้ำ 0.01 N H_2SO_4 ซึ่งมี

ค่า $\Phi = 0.546^{62,63}$ ค่าประสิทธิภาพในการเรืองแสงของสารเป้าหมาย 5, 8, 9, 12 และ 15 เท่ากับ 0.65, 0.35, 0.22, 0.20 และ >0.99 ตามลำดับ จากผลที่ได้แสดงให้เห็นว่าค่าประสิทธิภาพในการเรืองแสงของสารมีค่าลดลงอย่างต่อเนื่องตามการเพิ่มขึ้นของจำนวนวง thiophene ในโครงสร้างของโมเลกุล โดยผลที่ได้นี้ก็สอดคล้อง กับผลค่าประสิทธิภาพในการเรืองแสงของสารในกลุ่มอนุพันธ์ของ oligothiophene ที่ได้มีการรายงาน^{39,40}

การศึกษาช่วงชีวิตของการเรืองแสงแบบฟลูออเรสเซนซ์ (fluorescence lifetime) ของสารเป้าหมาย 5, 8, 9, 12 และ 15 ในรูปสารละลายน้ำแข็งของ dichloromethane ด้วยวิธีโมดูลเช่นเดียวกับ digital storage oscilloscope พบว่าช่วงชีวิตของการเรืองแสงของสารเป้าหมายทุกโมเลกุลจัดเป็น mono-exponential decay และเป็นค่าที่ไม่ขึ้นกับความถี่ ค่าช่วงชีวิตของการเรืองแสงของสาร 5, 8, 9, 12 และ 15 เท่ากับ 0.71, 0.50, 0.67, 0.82 และ 9.33 ns ตามลำดับ

ตารางที่ 1 ข้อมูลสมบัติทางกายภาพของสารเป้าหมาย 5, 8, 9, 12 และ 15

comp	$\lambda_{\text{abs}}/\text{nm}$ ($\log \epsilon/\text{dm}^3 \text{mol}^{-1} \text{cm}^{-1}$) ^a	λ_{ex} (nm) ^b	E_g (eV) ^c	$E_g \text{ calc.}$ (eV) ^d	Stoke shift (nm) ^e	Φ_F ^f	Lifetime (ns) ^g
5	382 (4.88)	435, 460	2.84	2.98	78	0.65	0.71
8	411 (4.88)	472, 499	2.63	2.78	61	0.35	0.50
9	430 (4.90), 337 (4.54)	498, 528	2.49	2.52	68	0.22	0.67
12	446 (4.92), 343 (4.67)	518	2.40	2.40	72	0.20	0.82
15	349 (4.90)	391, 412	3.20	3.25	41	1.00	9.33

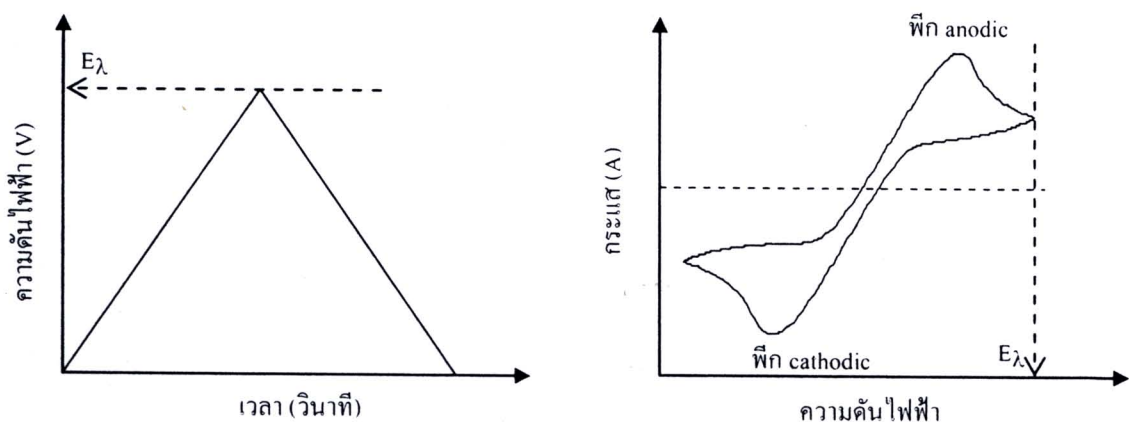
^aวัดในสารละลายน้ำแข็ง dichloromethane; ^bวัดในสารละลายน้ำแข็ง dichloromethane โดยทำการกระดูน์ที่ความยาวคลื่นของการดูดกลืนแสงสูงสุด; ^cคำนวณจากค่าความยาวคลื่นของการดูดกลืนแสงเริ่มต้น ($E_g = 1240/\lambda_{\text{onset}}$); ^dได้จากการคำนวณด้วยวิธี TDDFT/B3LYP; ^eคำนวณจากผลต่างของスペกตรัมการเรืองแสงและスペกตรัมการดูดกลืนแสง; ^fวัดในสารละลายน้ำแข็ง dichloromethane ($A < 0.1$) ที่อุณหภูมิห้องโดยใช้สารละลายน้ำ quinine sulfate ใน 0.01 M H₂SO₄ ($\Phi_F = 0.54$) เป็นสารมาตรฐาน; ^gวัดในรูปสารละลายน้ำแข็ง dichloromethane ด้วยวิธีโมดูลเช่นเดียวกับ digital storage oscilloscope

2.4 สมบัติทางไฟฟ้าเคมี (Electrochemical properties)

เพื่อการเข้าใจถึงพฤติกรรมทางไฟฟ้าเคมีของสารเป้าหมาย 5, 8, 9, 12 และ 15 ที่ได้ทั้งหมด

เทคนิค cyclic voltammetry (CV) จึงถูกใช้ในการศึกษา วิธี cyclic voltammetry (CV) เป็นเทคนิคที่วัดกระแสไฟฟ้า (current) ที่ความดันไฟฟ้า (potential) ต่างๆ ในรูปสารละลายของสารที่สนใจ เชลล์ไฟฟ้าเคมีโดยทั่วไปประกอบด้วย 3 อิเล็กโทรด คือ working electrode, counter electrode และ reference electrode ซึ่งทั้งสามอิเล็กโทรดถูกควบคุมโดย potentiostat ความต่างแรงดันไฟฟ้าถูกให้เข้าไประหว่าง working electrode และ counter electrode ส่วน reference electrode ที่ไม่มีการไหลของกระแสไฟฟ้าเป็นตัววัดความดันไฟฟ้าของอิเล็กโทรดอื่น

ในการวัด cyclic voltammetry ค่าความดันไฟฟ้าจะมีการเปลี่ยนแปลงในทิศทางบวก (positive) หรือในทิศทางลบ (negative) ตามเวลาในรูปของสมการเด็นตรง โดยเมื่อถึงค่าความดันไฟฟ้าสูงสุด E_{λ} หรือเรียกว่า switching potential ค่าความดันไฟฟ้าก็จะเปลี่ยนแปลงกลับสู่ค่าความดันไฟฟ้าเริ่มต้น และในขณะที่มีการเปลี่ยนแปลงค่าความดันไฟฟ้าตามเวลาในรูปของสมการเด็นตรง กระแสไฟฟ้าในเชลล์ถูกวัด โดยถ้าเกิดพิคขณะที่มีการเปลี่ยนแปลงความดันไฟฟ้าแสดงว่ามีขบวนการ redox เกิดขึ้น ดังแสดงในรูปที่ 16 การเปลี่ยนแปลงความดันไฟฟ้าในทิศทางบวกทำให้เกิดขบวนการ oxidation และการเปลี่ยนแปลงความดันไฟฟ้าในทิศทางลบทำให้เกิดขบวนการ reduction



รูปที่ 16 กราฟการเปลี่ยนแปลงค่าความดันไฟฟ้าสำหรับการทำ cyclic voltammetry และกราฟแสดงเส้นกราฟ CV ของขบวนการ redox แบบ quasi-reversible

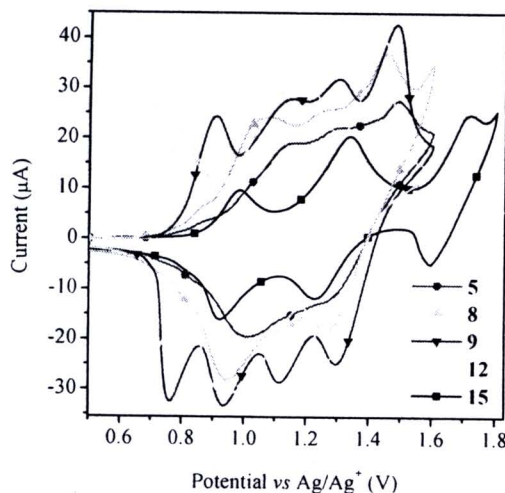
ถ้าเกิดพิคที่สูงในขณะที่มีการเปลี่ยนแปลงความดันไฟฟ้าในทิศทางไปข้างหน้า และการเปลี่ยนแปลงความดันไฟฟ้าในทิศทางกลับสู่ความดันไฟฟ้าเริ่มต้น แสดงว่าขบวนการ redox ที่เกิดขึ้นเป็นขบวนการทางเคมีที่ผันกลับได้ (chemically reversible) อีกความหมายหนึ่งคืออนุพันธ์ที่เกิดจากห้องขบวนการ oxidation และ reduction มีความเสถียรหรือขบวนการเคลื่อนย้ายของอิเล็กตรอนระหว่างแต่ละ electrode และสารละลายเกิดขึ้นเร็วกว่าการเคลื่อนที่ของอิเล็กตรอนที่ให้ในสภาพการทดลอง แต่ถ้าไม่เกิดพิคในขณะที่มีการเปลี่ยนแปลงความดันไฟฟ้าในทิศทางกลับสู่ความดันไฟฟ้าเริ่มต้น เรียกขบวนการ redox ที่เกิดขึ้นว่าขบวนการทางเคมีที่ผันกลับไม่ได้ (chemically irreversible) ซึ่งเนื่องจากมี

ขบวนการทางเคมีเกิดขึ้นและเกิดเร็วกว่าขบวนการที่ให้ในสภาวะการทดลอง หรือเกิดจากขบวนการเคลื่อนย้ายของอิเล็กตรอนระหว่างแต่ละ electrode และสารละลายเกิดขึ้นช้ากว่าการเคลื่อนที่ของอิเล็กตรอนที่ให้ในสภาวะการทดลอง ในการทำ cyclic voltammetry สำหรับขบวนการ oxidation และ reduction ที่เป็นแบบผันกลับได้ ค่าผลต่างของความดันไฟฟ้า (ΔE_p) ระหว่างพีค cathodic และพีค anodic สำหรับขบวนการที่เกี่ยวข้องกับขบวนการเปลี่ยนแปลง 1 electron ที่อุณหภูมิ 25 °C มีค่าเท่ากับ 57 mV และสำหรับขบวนการที่เกี่ยวข้องกับขบวนการเปลี่ยนแปลง 2 electron ที่อุณหภูมิ 25 °C มีค่าเท่ากับ 28.5 mV เมื่อ ΔE_p มีค่ามากกว่า 57 mV ที่อุณหภูมิ 25 °C แต่ขบวนการ oxidation และ reduction ที่เป็นแบบผันกลับได้เรียกขบวนการนี้ว่า quasi-reversible โดยจะพบขบวนการ quasi-reversible เมื่ออนุพันธ์ที่เกิดจากการ reduction และ oxidation มีความเสถียรแต่มีอัตราการเคลื่อนที่ของอิเล็กตรอนระหว่างสารประกอบและ electrode เกิดช้าเมื่อเปรียบเทียบกับการเคลื่อนที่ของอิเล็กตรอนที่ให้ในสภาวะการทดลอง เมื่ออัตราการเปลี่ยนแปลงความดันไฟฟ้าเพิ่มขึ้นอาจจะทำให้ขบวนการที่ผันกลับได้กลายเป็นขบวนการ quasi-reversible และกลายเป็นขบวนการ irreversible ตั้งนั้นการผันกลับของขบวนการทางไฟฟ้าเคมี จะขึ้นกับอัตราการเปลี่ยนแปลงความดันไฟฟ้าในการทดลอง

ในงานวิจัยนี้การวัด cyclic voltammetry ทำในรูปสารละลายน้ำทำละลาย dichloromethane ที่ปราศจากน้ำ โดยมีลวด platinum เป็น counter electrode และมี Ag/AgCl/NaCl เป็น reference electrode และ glassy carbon เป็น working electrode ใช้ tetra-*n*-butylammonium hexafluorophosphate (*n*-Bu₄NPF₆) หรือ tetra-*n*-butylammonium perchlorate (*n*-Bu₄NCIO₄) เป็นสารละลายอิเล็กโทรไลต์ซึ่งเป็นอิเล็กโทรไลต์ที่ทำละลายได้ในน้ำทำละลายอินทรีย์ ความเข้มข้นของอิเล็กโทรไลต์ในสารละลายน้ำ 0.1M และความเข้มข้นของสารตัวอย่างในสารละลายน้ำ 1mM การใช้น้ำทำละลายน้ำที่ปราศจากน้ำและการกำจัดออกซิเจนจากสารละลายน้ำโดยการผ่านก๊าซเชือยเข้าไปในระบบเป็นสิ่งที่จำเป็นอย่างยิ่งในการทำ cyclic voltammetry ทั้งนี้เนื่องจากว่าออกซิเจนเป็นโมเลกุลที่ทำลายโมเลกุล radical ได้มาก และนอกจากนี้ทั้ง โมเลกุลของน้ำและออกซิเจนก็อาจจะทำปฏิกิริยากับอนุพันธ์ที่เกิดจากขบวนการ reduction และ oxidation ได้

กราฟ CV ของสารเป้าหมาย 5, 8, 9, 12 และ 15 ในสารละลายน้ำทำละลาย dichloromethane ดังรูปที่ 17, 18 และข้อมูลสรุปในตารางที่ 2 กราฟ CV ของสาร 5, 8, 12 และ 15 แสดงสามพีคของขบวนการ quasi-reversible oxidation ส่วนสารเป้าหมาย 9 แสดงสี่พีคของขบวนการ quasi-reversible oxidation โดยขบวนการเกิด oxidation ที่หนึ่งสามารถกระนัดได้เป็นขบวนการดึงอิเล็กตรอนจากส่วนของวง carbazole ที่อยู่ที่ปลายทั้งสองข้างของโมเลกุล และส่วนของขบวนการเกิด oxidation ที่เหลือสามารถกระนัดได้เป็นขบวนการดึงอิเล็กตรอนจากส่วนของโมเลกุลภายในที่เหลือ จากการศึกษาเมื่อทำ oxidation หลายครั้งพบว่ามีการ shift ของกราฟ CV ของสารทั้งหมด (รูปที่ 18) ซึ่งแสดงถึงมีการเกิดขบวนการ weak oxidative coupling ที่ตำแหน่ง 3,6-position ของวง carbazole ที่ปลายทั้งสองข้างของโมเลกุล โดยปรากฏการณ์นี้จะเกิดขึ้นโดยทั่วไปกับสารประกอบของ carbazole ที่

มีตำแหน่ง 3,6-position ที่ไม่มีการแทนที่ด้วยหมู่ฟังก์ชันใดๆ แต่อย่างไรก็ตามภายใต้การทดลองนี้ไม่พบการเกิดขบวนการ reduction ในตัวอย่างทั้งหมด

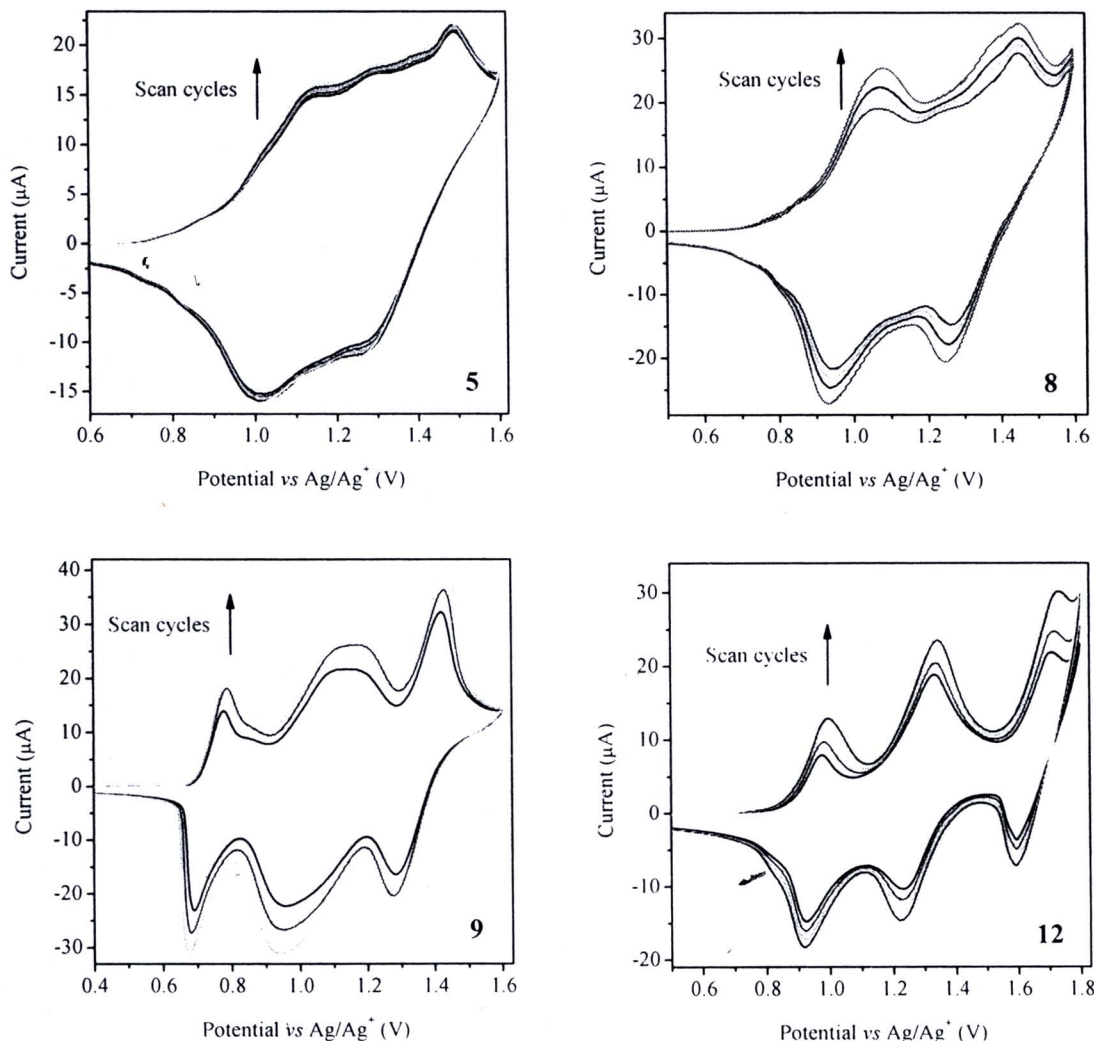


รูปที่ 17 กราฟ CV ของสารเป้าหมาย 5, 8, 9, 12 และ 15 ในตัวทำละลายน้ำ dichloromethane โดยที่มี $n\text{-Bu}_4\text{NPF}_6$ เป็นสารอิเล็กโทรไลต์ ที่ scan rate เป็น 50 mV/s

จากการศึกษาเมื่อทำ oxidation หลายครั้งพบว่ามีการ shift ของกราฟ CV ของสารทั้งหมด (รูปที่ 18) ซึ่งแสดงถึงมีการเกิดขบวนการ weak oxidative coupling ที่ตำแหน่ง 3,6-position ของวง carbazole ที่ปลายทั้งสองข้างของโมเลกุล โดยปรากฏการณ์นี้จะเกิดขึ้นโดยทั่วไปกับสารประกอบของ carbazole ที่มีตำแหน่ง 3,6-position ที่ไม่มีการแทนที่ด้วยหมู่ฟังก์ชันใดๆ แต่อย่างไรก็ตามภายใต้การทดลองนี้ไม่พบการเกิดขบวนการ reduction ในตัวอย่างทั้งหมด

เมื่อพิจารณาค่า oxidation potential ของขบวนการเกิด oxidation ที่หนึ่งของสารเป้าหมาย 5, 8, 9 และ 12 แต่ละตัวเท่ากับ 1.07, 1.00, 0.82 และ 0.72 V จะเห็นแนวโน้มของการลดลงอย่างต่อเนื่องของค่า oxidation potential เมื่อจำนวนของการเพิ่มขึ้นของจำนวนวง thiophene ในโครงสร้างของโมเลกุล หรือเมื่อมีเพิ่มความยาวของระบบคอนจูกेशันในโมเลกุล ซึ่งผลที่ได้นี้สอดคล้องกับผลที่มีการรายงานจากการศึกษาของ oligothiophene ชนิดอื่นๆ เช่น cyclophane end-capped oligothiophenes,³³ ethylenedithio end-capped oligothiophenes³⁷ และ 2-*n*-hexylfluorene end-capped oligothiophenes³⁹ นอกจากนี้เมื่อเปรียบเทียบค่า oxidation potential ของขบวนการเกิด oxidation ที่หนึ่งของสารเป้าหมาย 5, 8, 9, 12 และ 15 เท่ากับ 1.07, 1.00, 0.82, 0.72 และ 0.94 V แต่ละตัวกับค่า oxidation potential ของขบวนการเกิด oxidation ที่หนึ่งของโมเลกุลที่มีโครงสร้างเหมือนกันแต่ไม่มีหมู่ carbazole ต่อที่ปลายทั้งสองข้าง⁴⁰ ซึ่งแสดงให้เห็นว่าการเพิ่มหมู่ carbazole เข้าที่ปลายทั้งสองข้างของโมเลกุลมีผลทำให้สารที่ได้สามารถเกิดการ oxidation ได้ง่ายมากขึ้น เมื่อพิจารณาค่าผลต่างของ oxidation potential ของขบวนการเกิด oxidation ที่หนึ่งกับ oxidation potential ของขบวนการเกิด oxidation ที่สองพบว่าค่าที่

ได้อบุญช่วง 170 - 360 mV ซึ่งแสดงให้เห็นว่า radical cation ที่เกิดขึ้นในขั้นตอนการ oxidation ที่หนึ่งสามารถเกิดการเคลื่อนที่ไปมาระหว่างหมู่ carbazole และส่วนของแกนกลางที่เป็น oligofluorene-thiophene ก่อนที่จะเกิดขั้นตอนการ oxidation ที่สอง โดยผลที่พบนี้ก่อตัวคล้องกับผลที่ได้จากการศึกษาสมบัติทางแสงของสารเป้าหมาย กล่าวคือการเกิด red shift ของスペกตรัมการดูดกลืนแสงและスペกตรัมการเรืองแสง การเพิ่มขึ้นของความยาวของระบบไฟ-คอนจูกชัน (π -conjugation system) เป็นผลเนื่องมาจากการเพิ่มขึ้นของความยาวของโครงสร้างแกนที่เป็นก้อนจุกชันภายในไมเลกุล



รูปที่ 18 กราฟ CV ของสารเป้าหมาย 5, 8, 9 และ 12 เมื่อทำการสแกนซ้ำหลายครั้ง ในตัวทำละลาย dichloromethane โดยที่มี $n\text{-Bu}_4\text{NPF}_6$ เป็นสารอิเล็กโทรไลท์ที่ scan rate เป็น 50 mV/s

จากกราฟ CV ของสารเป้าหมาย 5, 8, 9, 12 และ 15 แสดงค่า onset oxidation potentials ($E_{\text{onset}}^{\text{ox}}$) ที่ 0.90, 0.86, 0.78, 0.71 และ 0.85 V ตามลำดับ จากข้อมูลสามารถคำนวณค่าระดับพลังงาน HOMO ของสารเป้าหมาย 5, 8, 9, 12 และ 15 จากสมการ $\text{HOMO} = -(E_{\text{onset}} + 4.44) \text{ (eV)}$ ได้เท่ากับ -

5.34, -5.30, -5.22, -5.15 และ -5.29 eV ตามลำดับ และสามารถคำนวณค่าระดับพลังงาน LUMO ของสารเป้าหมาย 5, 8, 9, 12 และ 15 จากการลบค่าระดับพลังงาน HOMO ด้วยค่า energy band gap (E_g) ของสารแต่ละตัวได้เป็นเท่ากับ -2.59, -2.67, -2.73, -2.75 และ -2.09 eV ตามลำดับ จากข้อมูลที่คำนวณได้พบว่าค่าระดับพลังงาน HOMO ของสารเป้าหมายมีค่าเพิ่มขึ้นสอดคล้องกับการเพิ่มขึ้นของความยาวของระบบไฟ-คอนจุเกชัน เป็นผลเนื่องมาจากการเพิ่มขึ้นของความยาวของโครงสร้างแกนที่เป็นคอนจุเกชันภายในโมเลกุล ค่าระดับพลังงาน HOMO ของสารอยู่ในช่วงประมาณ -5.34 ถึง -5.15 eV เป็นค่าระดับพลังงานที่พอยเมะกับระดับ work function ของโลหะอิเล็กโทรดที่นิยมใช้ในอุปกรณ์օปໂໂຕ อิเล็กโทรอนิกส์ทั่วไป เช่น อิเล็กโทรดที่ทำจากทอง (Au) หรืออิเล็กโทรดที่ทำจาก indium tin oxide (ITO) ดังนั้นจึงทำให้สารเป้าหมายเหล่านี้ นอกจากจะใช้เป็นสารເຮືອງແສງໃນอุปกรณ์ໄດ້ໂອດເຮືອງແສງອິນທີ່ໄດ້ແລ້ວຍັງสามารถใช้เป็นสารส่งผ่านประชุมวກໄດ້ອີກດ້ວຍ

ตารางที่ 2 ข้อมูลสมบัติทางไฟฟ้าเคมีและสมบัติทางกายภาพของสารเป้าหมาย

compd	$E_{1/2}/V (\Delta E/mV)^{aa}$	$E_{\text{onset}}^{\text{ox}}$ (V)	HOMO (eV) ^b	LUMO (eV) ^c	$T_g/T_c/T_m/T_{5d}$ (°C) ^d
5	1.07 (94), 1.24 (82), 1.41 (140)	0.90	-5.34	-2.59	84/-/-/-/341
8	1.00 (133), 1.20 (110), 1.37 (185)	0.86	-5.30	-2.67	86/160/224/357
9	0.82 (190), 1.03 (235), 1.20 (228), 1.39 (218)	0.78	-5.22	-2.73	92/-/224/372
12	0.72 (213), 1.08 (342), 1.36 (250)	0.71	-5.15	-2.75	96/127/221/375
15	0.94 (62), 1.28 (110), 1.67 (125)	0.85	-5.29	-2.09	69/148/196/340

^aวัดในตัวทำละลาย dichloromethane โดยที่มี $n\text{-Bu}_4\text{NPF}_6$ เป็นสารอิสติกโทรไලท์ ที่ scan rate เป็น 50 mV/s; ^b คำนวณจากสมการ $\text{HOMO} = -(E_{\text{onset}}^{\text{ox}} + 4.44)$; ^c คำนวณจากสมการ $\text{LUMO} = E_g + \text{HOMO}$; ^d ได้จากการวัดด้วยเทคนิค DSC และ TGA ทำการวิเคราะห์ภายใต้บรรยากาศ N_2 ที่อัตราการให้ความร้อนเป็น 10 °C/min

2.5 สมบัติทางความร้อน (Thermal properties)

สำหรับการประยุกต์ใช้สารอินทรีໃນอุปกรณ์ໄດ້ໂອດເຮືອງແສງອິນທີ່ หรือອຸປະກອນ໌օປໂໂຕ อิเล็กโทรอนิกส์อื่นๆ เสถียรภาพต่อความร้อนของสารอินทรีนี้มีผลอย่างยิ่ง因为ต่อความเสถียรและอายุการใช้งานอุปกรณ์ โดยถablyด้วหรือເສື່ອມສົກພາບອອງຫຼັນສາຣອິນທີ່ໃນອຸປະກອນ໌ແລ້ວນີ້ ขື້ນອູ່ກັບການປັບປຸງແປງລັກຍະໂຄຮງສ້າງທາງສັນຈຸານວິທີຍາ (morphology) ຜົ່ງກີ່ເປັນພົມາຈາກການເສົ່ຽທາງການຮັບຮັບຂອງສາຣອິນທີ່ ໂດຍຫຼຬ້ວໄປການປັບປຸງແປງລັກຍະໂຄຮງສ້າງທາງສັນຈຸານວິທີຍາຂອງ

สารอินทรีย์ มักจะเกิดขึ้นที่อุณหภูมิใกล้กับอุณหภูมิกลายารานสิชัน (T_g) ของสาร ดังนั้นการที่ไม่เลกูล สารอินทรีย์นี้ความเสถียรภาพต่อความร้อนต่ำหรือมีค่าอุณหภูมิ T_g ต่ำจึงทำให้มีการเกิดการสลายตัว ของโมเลกุลได้ง่าย สมบัติทางความร้อนของสารเป้าหมาย 5, 8, 9, 12 และ 15 จึงถูกทำการศึกษาโดย เทคนิค DSC และ TGA ภายใต้บรรยากาศในไตรเจน

เทคนิคการวิเคราะห์ทางความร้อน (thermal analysis) เป็นกลุ่มของเทคนิคที่ใช้ในการศึกษา สมบัติของสารตัวอย่างเมื่อมีการเปลี่ยนแปลงอุณหภูมิ เวลา หรือความถี่ โปรแกรมการให้ความร้อนกับ สารตัวอย่าง โดยทั่วไปประกอบด้วยลำดับของช่วงการให้ความร้อน หรือช่วงการลดความร้อนที่อัตรา การเปลี่ยนแปลงอุณหภูมิกคงที่ หรือช่วงการให้ความร้อนที่อุณหภูมิกคงที่ บรรยายกาศที่ใช้ในการทดลอง นักจะมีผลต่อทางความร้อนของสารตัวอย่าง โดยทั่วไปจะทำการทดลองภายใต้บรรยากาศเฉี่ยวด (ในไตรเจน) หรือบรรยายกาศที่เกิดปฏิกิริยาออกซิเดชัน (ออกซิเจน)

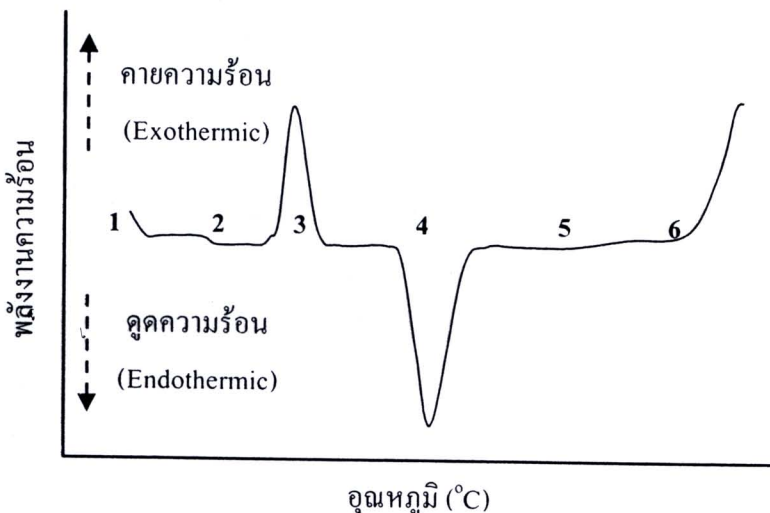
Thermogravimetric analysis (TGA) เป็นการตรวจการเปลี่ยนแปลงมวลของสารตัวอย่าง ที่ เป็นพังก์ชันกับเวลาหรือกับอุณหภูมิใน scanning mode เช่น ในการเกิด desorption, absorption, vaporization, oxidation หรือ decomposition เป็นต้น TGA ใช้วัดการสูญเสียน้ำหนักที่เกิดขึ้นในช่วง อุณหภูมิต่าง ๆ

Differential scanning calorimetry (DSC) เป็นเครื่องสำหรับวัดความแตกต่างของพลังงาน หรือการไหลของความร้อน (heat flow) ระหว่างสารทดลองกับสารอ้างอิง (standard material) ซึ่งเป็น พังก์ชันกับเวลาหรืออุณหภูมิ การเปลี่ยนแปลงเชิงพลังงานที่เกิดขึ้น สามารถบอกขนาด และทิศทางการ เปลี่ยนแปลงความร้อนในระบบ ที่สัมพันธ์กับการเปลี่ยนแปลงทางกายภาพและ / หรือทางเคมีที่เกิดขึ้น เมื่อได้รับความร้อนหรือถูกทำให้เย็นตัวลง พลังงานที่ให้แก่สารตัวอย่างจะสอดคล้องกับการ เปลี่ยนแปลงอนุหาติ (ΔH) ของสารตัวอย่าง โดยเมื่อสารตัวอย่างดูดซับพลังงาน การเปลี่ยนแปลงอนุ หาติเป็นแบบดูดความร้อน (endothermic) แต่เมื่อสารตัวอย่างชายพลังงานขบวนการที่ เกิดขึ้นจะเป็นแบบชายความร้อน (exothermic)

ข้อมูลสมบัติทางความร้อนของสารที่จะได้รับจากการทดลอง DSC คือ ผลกระทบทางความ ร้อน (thermal effect) เช่น การหลอมเหลว (ที่อุณหภูมิ T_m) การเกิดผลึก (ที่อุณหภูมิ T_c) การเกิด solid-solid transition และ การเกิดปฏิกิริยาเคมี และนอกจากนี้ยังได้คำว่าความจุความร้อนจำเพาะ (specific heat capacity) ซึ่งการวัดการเปลี่ยนแปลงของค่าความจุความร้อนจำเพาะสามารถบอกร่องเกิด glass transition (ที่อุณหภูมิ T_g) ของสารตัวอย่างได้

การวิเคราะห์ด้วยเทคนิค DSC โดยทั่วไปจะมีโปรแกรมการให้ความร้อน (temperature program) แก่สารตัวอย่างแบบเส้นตรง คือทั้งสารตัวอย่างและสารอ้างอิงมาตรฐานจะถูกเพิ่มหรือลด อุณหภูมิด้วยอัตราที่คงที่ หรือวัดที่อุณหภูมิกคงที่ การทดลองอาจประกอบด้วยขั้นตอนการเพิ่มและลด อุณหภูมิหลายๆ ขั้นตอน ตัวอย่างของกราฟ DSC thermogram ดังแสดงในรูปที่ 19 ประเภทบรรยายกาศ ของก้าชที่ใช้ในการทดลองมักจะเป็นปัจจัยหลักของปฏิกิริยาที่เกิดขึ้น การให้ความร้อนแก่สารเป็น

รอบที่ 2 หลังจากลดอุณหภูมิ จะทำให้สามารถดำเนินการเปลี่ยนแปลงทางความร้อนจากการเปลี่ยนแปลงเนื่องจากการเกิดปฏิกิริยาและที่ให้ความร้อนได้ โดยการเปลี่ยนแปลงเนื่องจากการเกิดปฏิกิริยาจะเป็นขบวนการแบบไม่ผันกลับ แต่สารที่เป็นผลึกจะหลอมเหลวเมื่อให้ความร้อนซึ่งสามารถที่จะเกิดผลึก และเกิดการหลอมเหลวอีกครั้งเมื่อมีการลดอุณหภูมิและให้ความร้อนเป็นครั้งที่สอง



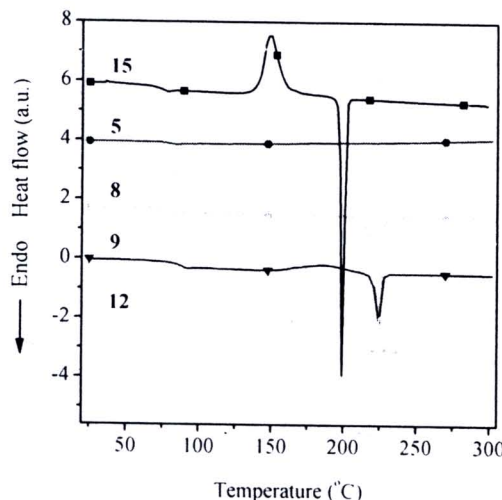
- 1 ข้อผิดพลาดขณะเริ่มต้นการทดลอง 2 glass transition 3 การเกิดผลึก (crystallization)
4 การหลอมเหลว (melting) 5 การกลายเป็นไอ (vaporization) 6 การถลายตัว (decomposition)

รูปที่ 19 กราฟ DCS thermogram

ในการวิเคราะห์ด้วยเทคนิค DSC ของสารเป้าหมายทุกด้วย สารจะถูกให้ความร้อนภายใต้บรรยากาศในโตรเจน สารตัวอย่างถูกบรรจุในถ้วยอลูมิเนียม และมีโลหะอลูมิเนียมเป็นสารอ้างอิงมาตรฐาน โปรแกรมการให้ความร้อนถูกแบ่งเป็น 3 ช่วง คือช่วงแรกเป็นการเพิ่มอุณหภูมิจาก 2°C ไปถึง 300 °C ด้วยอัตราการเพิ่มขึ้นของอุณหภูมิ 10 °C/min จากนั้นลดอุณหภูมิจาก 300 °C ลงมา 25°C ด้วยอัตราการลดลงของอุณหภูมิ 50°C/min และสุดท้ายเป็นการเพิ่มอุณหภูมิอีกครั้งจาก 25°C ไปถึง 350 °C ด้วยอัตราการเพิ่มขึ้นของอุณหภูมิ 10 °C/min

จากราฟ DSC ของสาร 8 และ 9 แสดงในรูปที่ 20 และข้อมูลสรุปในตารางที่ 2 พบว่าสารทั้งสองมีสมบัติเป็นสารกึ่งผลึก (semi-crystalline) โดยในช่วงแรกของการให้ความร้อนจะปรากฏการเกิด baseline shift แบบดูดความร้อน ซึ่งสอดคล้องการเปลี่ยนแปลงเนื่องจากสถานะ glass ไปเป็นสถานะ supercooled liquid หรือเรียกว่าเกิด glass transition temperature (T_g) ที่อุณหภูมิ 89 และ 92 °C ตามลำดับ ตามด้วยที่อุณหภูมิสูงขึ้นพบพิคที่เกิดจากการเปลี่ยนแปลงแบบดูดความร้อนเนื่องจากการเกิด melting ที่อุณหภูมิเดียวกัน 224 °C ส่วนกราฟ DSC ของสาร 12 และ 15 แสดงให้เห็นว่าสารทั้ง

สองมีสมบัติเป็นสารกึ่งผลึก (semi-crystalline) พนว่าในช่วงแรกของการให้ความร้อนจะปรากฏการเกิด baseline shift แบบดูดความร้อน ซึ่งสอดคล้องการเปลี่ยนแปลงเนื่องจากสถานะ glass ไปเป็นสถานะ super cooled liquid หรือเรียกว่าเกิด glass transition temperature (T_g) ที่อุณหภูมิ 96 และ 69 °C ตามลำดับ งานนี้ที่อุณหภูมิสูงขึ้นพบพิกค์ที่กราฟที่เกิดจากการเปลี่ยนแปลงแบบดูดความร้อนเนื่องจากการเกิด crystallization ที่อุณหภูมิ 126 และ 148 °C ตามลำดับ เมื่ออุณหภูมิสูงขึ้นจะปรากฏพิกค์ที่เกิดจากการเปลี่ยนแปลงแบบดูดความร้อนเนื่องจากการเกิด melting ของผลึกที่เกิดขึ้นที่อุณหภูมิ 221 และ 196 °C ตามลำดับ ส่วนสารเป้าหมาย 5 แสดงสมบัติทางความร้อนที่แตกต่างออกไป กล่าวคือ กราฟ DSC ของสาร 5 แสดงให้เห็นว่าเมื่อได้รับความร้อนจะปรากฏการเกิด baseline shift แบบดูดความร้อนเท่านั้น ซึ่งเป็นการเปลี่ยนแปลงเนื่องจาก glass transition temperature (T_g) ที่อุณหภูมิ 84 °C และไม่พบพิกค์ที่เกิดจากการเปลี่ยนแปลงแบบดูดความร้อนเนื่องจากการเกิด crystallization และไม่พบพิกค์ที่เกิดจากการเปลี่ยนแปลงแบบดูดความร้อนเนื่องจากการเกิด melting point ที่อุณหภูมิสูงขึ้น ผลที่ได้แสดงว่าสาร 5 มีสมบัติเป็นสาร amorphous

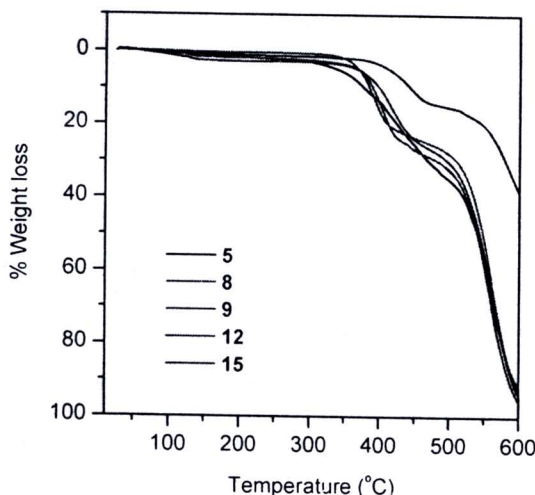


รูปที่ 20 กราฟ DSC ของสารเป้าหมาย 5, 8, 9, 12 และ 15 ที่อัตราการให้ความร้อนเป็น 10 °C/min

นอกจากนี้ความเสถียรทางความร้อนของสารเป้าหมาย 5, 8, 9, 12 และ 15 ถูกศึกษาด้วยเทคนิค TGA (รูปที่ 21) ผลที่ได้แสดงให้เห็นว่าสารเป้าหมายทั้งหมดมีความเสถียรทางความร้อนที่ดี โดยมีค่าอุณหภูมิเริ่มต้นในการสลายตัวภายใน 340 °C โดยสารเป้าหมาย 5, 8, 9, 12 และ 15 แสดงค่าอุณหภูมิ 5% weight loss (T_{5d}) ที่ 341, 357, 372, 375 และ 340 °C ตามลำดับ โดยผลที่ได้เป็นไปตามที่คาดหมายไว้ กล่าวคือเมื่อจำนวนของวง thiophene ในโครงสร้างของโมเลกุลเพิ่มทำให้ความเสถียรทางความร้อนโมเลกุลก็เพิ่มขึ้นด้วย

ผลของความเสถียรทางความร้อนของสารเป้าหมายที่ดี อาจเป็นผลเนื่องมาจากการที่มีหน่วย carbazole ต่ออยู่ที่ปลายทั้งสองข้างของโมเลกุล และการที่โมเลกุลเป้าหมายแสดงสมบัติเป็นสารกึ่ง

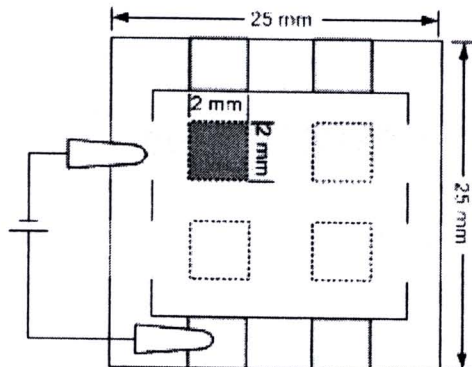
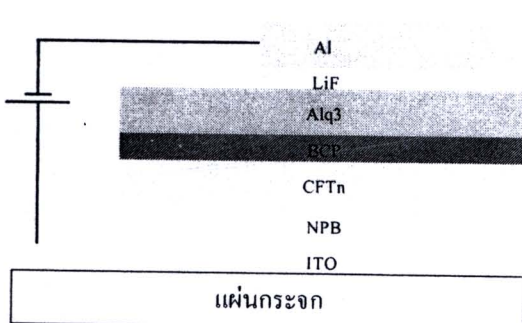
ผลึก หรือเป็นสาร amorphous ทำให้เตรียมฟิล์มนางจากสารเป้าหมายโดยวิธี evaporation และวิธี solution casting เป็นไปได้โดยง่าย ซึ่งเป็นปัจจัยสำคัญในการประยุกต์ใช้สารเหล่านี้ในอุปกรณ์ไดโอดเรืองแสงอินทรีย์ (organic light-emitting diode, OLED) หรืออุปกรณ์ทรายซิสเตอร์สนา�ไฟฟ้านิดสารอินทรีย์ (organic field-effect transistor, OFET)



รูปที่ 21 กราฟ TGA ของสารเป้าหมาย 5, 8, 9, 12 และ 15 ที่อัตราการให้ความร้อนเป็น $10\text{ }^{\circ}\text{C/min}$

2.6 การสร้างไดโอดเรืองแสงอินทรีย์ สมบัติทางไฟฟ้า และสมบัติทางแสง (OLED fabrication, electrical and optical properties)

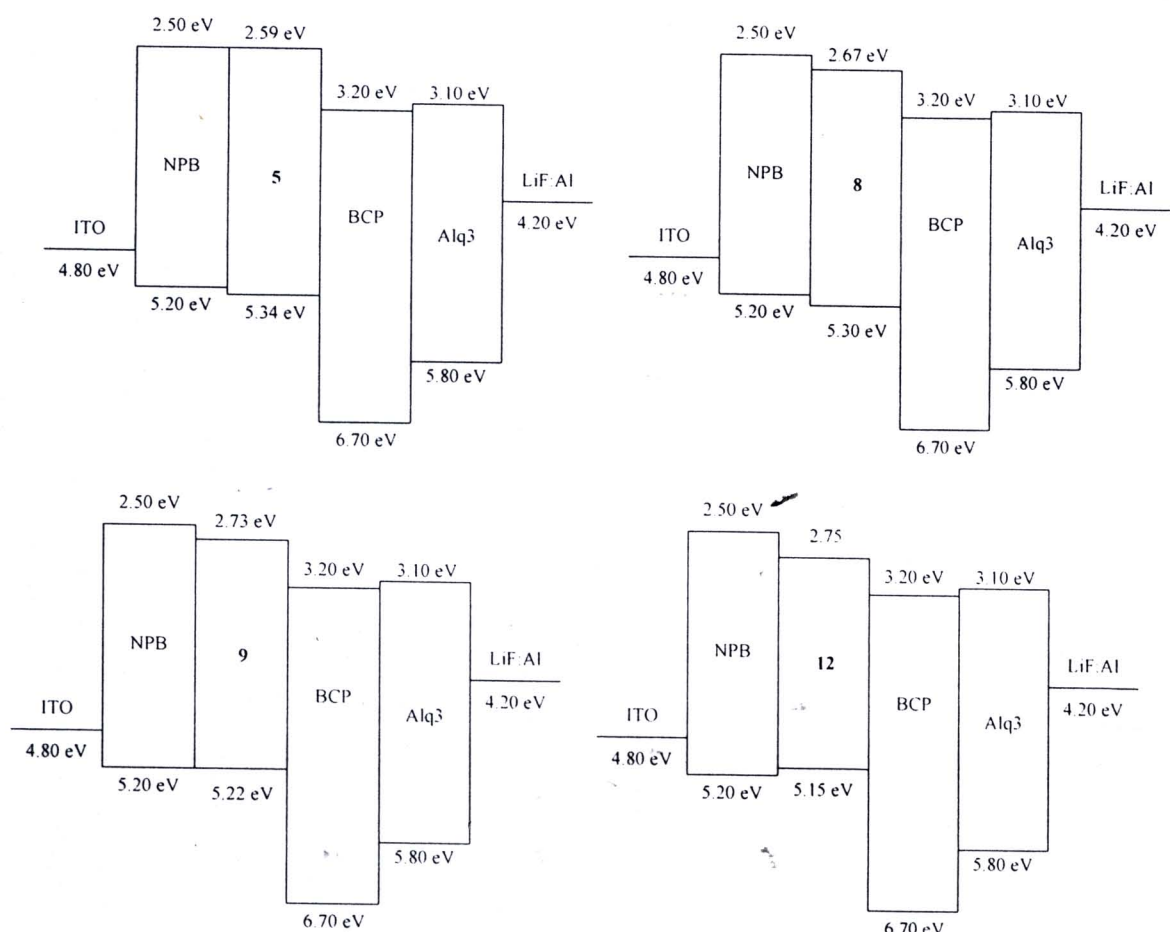
เพื่อศึกษาสมบัติการเรืองแสงของโมเลกุลที่เตรียมได้ในอุปกรณ์ไดโอดเรืองแสงสารอินทรีย์ ได้สร้างไดโอดเรืองแสงสารอินทรีย์ Indium doped tin oxide (ITO)/ *N,N*-di-[(*1-naphthalenyl*)-*N,N*-diphenyl]-1,1'-biphenyl)-4,4'-diamine (NPB)(20 nm)/5, 8, 9, หรือ 12(20 nm)/ 2,9-dimethyl-4,7-diphenyl-1,10-phenanthroline (BCP)(5 nm)/ tris-(8-hydroxyquinoline)aluminum (Alq3)(10 nm)/LiF(1.5 nm)/Al(200 nm) บนกระดาษเคลือบอิเล็กโทรด indium tin oxide (ITO) ขนาด $25\text{ mm} \times 25\text{ mm}$ โดยมีส่วนที่เรืองแสง (active area) เป็นขนาด $2\text{ mm} \times 2\text{ mm}$ จำนวน 4 ส่วน โครงสร้างเซลล์แสดงดังรูปที่ 22 โดยขั้นตอนการขึ้นรูปไดโอดเรืองแสงสารอินทรีย์เป็นไปตามลำดับดังนี้ ขั้นแรกทำความสะกดกระดาษเคลือบอิเล็กโทรด ITO ด้วยการอัดตราโซนนิกेटในน้ำยาทำความสะกด จากนั้นล้างด้วยน้ำปราศจากไออกอน (DI) ไอโซไพรพานอล อะซิโตน และไอโซไพรพานอล ตามลำดับ อบให้แห้งในตู้อบสูญญากาศ นำกระดาษเคลือบอิเล็กโทรด ITO ใส่ในห้องสูญญากาศของเครื่องเทอร์มอลอว่าไประเตอร์ (Thermal evaporator ES280, ANS Technology) ทำการระเหยโมเลกุลสารอินทรีย์ตามลำดับขั้น โครงสร้างภายใต้สูญญากาศประมาณ $5 \times 10^{-5}\text{ mbar}$ ด้วยอัตราการเคลือบประมาณ 1-2 อั้งสตอรอมต่อวินาที



รูปที่ 22 โครงสร้างพื้นฐานของไดโอดเรืองแสงที่มีสารอินทรีย์ที่มีโมเลกุลเป้าหมาย

5, 8, 9 และ 12 เป็นชั้นสารเรืองแสง

รูปที่ 23 แสดงการเปรียบเทียบระดับพลังงาน HOMO และ LUMO ของไดโอดเรืองแสงสารอินทรีย์ที่มีโมเลกุล 5, 8, 9 และ 12 เป็นสารเรืองแสง

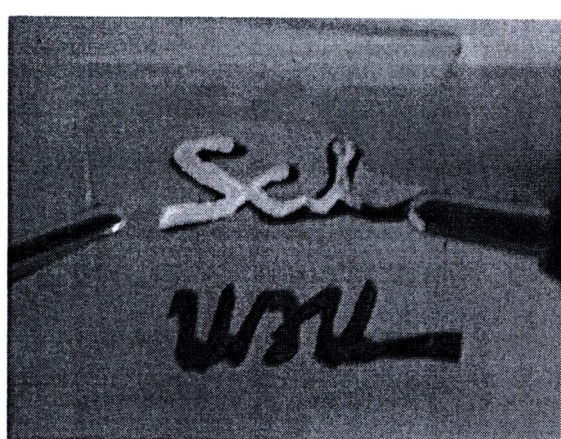


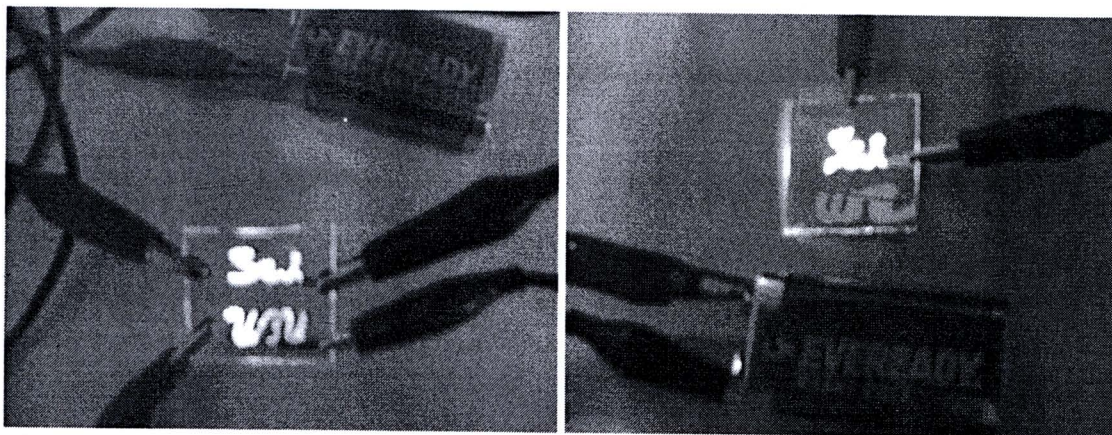
รูปที่ 23 กราฟแสดงระดับพลังงานของไดโอดเรืองแสงสารอินทรีย์ที่มีโมเลกุลเป้าหมาย

5, 8, 9 และ 12 เป็นชั้นสารเรืองแสง

โมเลกุลสารอินทรีย์ N,N'-di-[(1-naphthalenyl)-N,N'-diphenyl]-1,1'-biphenyl)-4,4'-diamine (NPB) เป็นสารส่งผ่านประจุบวก โมเลกุลสารอินทรีย์ 2,9-dimethyl-4,7-diphenyl-1,10-phenanthroline (BCP) เป็นตัวกันประจุบวก สารประกอบ Alq₃ เป็นสารส่งผ่านอิเล็กตรอน ลิเธียมฟลูออไรด์ (Lithium fluoride) ทำหน้าที่ฉีดอิเล็กตรอนจากขั้วไฟฟ้าแคลไทด์ลูมิเนียนเข้าสู่ชั้นสารอินทรีย์ โลหะอะลูมิเนียม เคลือบด้วยอัตราเร็ว 5-10 อังสตرومต่อวินาที ผ่านหน้ากาก (mask) ขนาดความกว้าง 2 mm ความหนาของฟิล์มบางและเคลือบ วัดจากเครื่องวัดความหนาแบบความทต่อสัมภาร์มิเตอร์ TM-350 MAXTEK

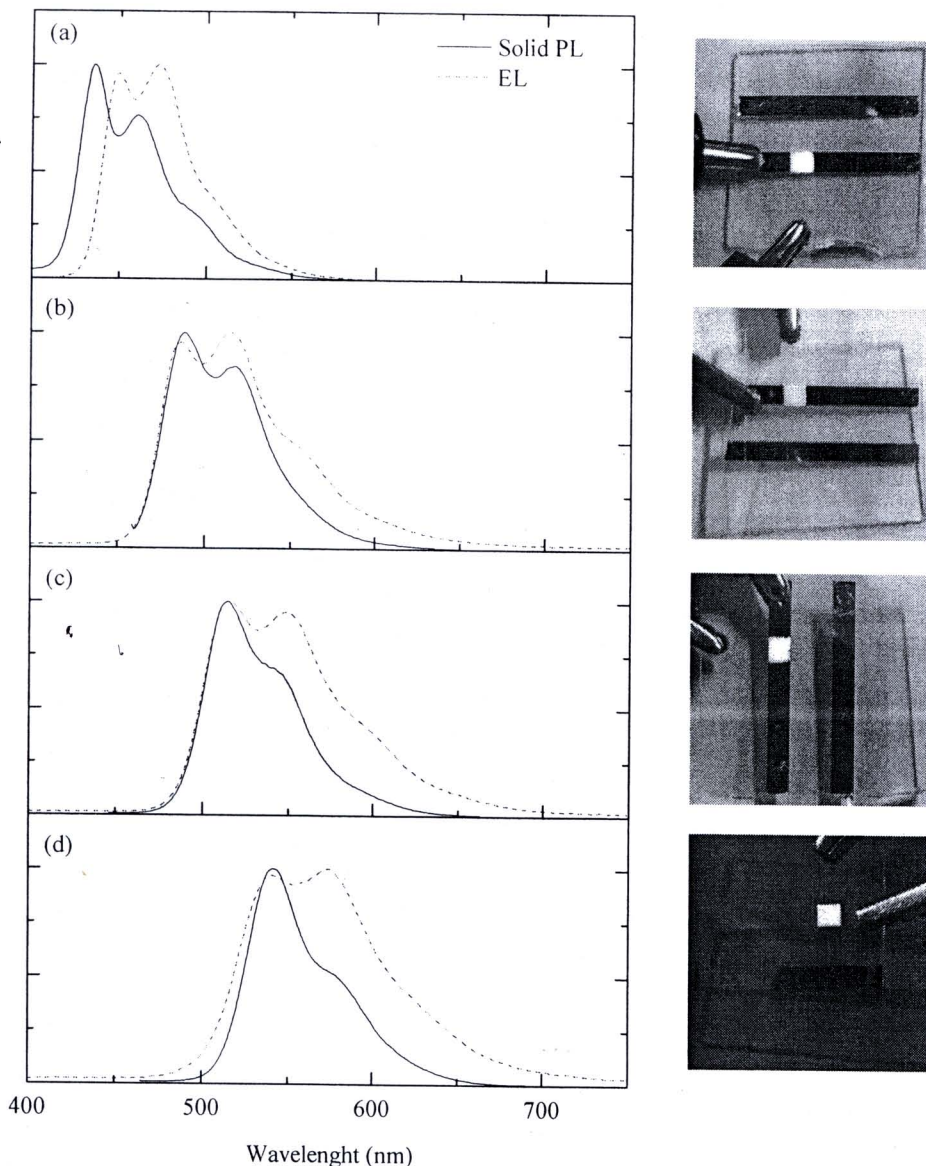
การศึกษาประสิทธิภาพของไดโอดเรืองแสงสารอินทรีย์ โดยวัดสมบัติไฟฟ้าและสมบัติเชิงแสง I-V-L ณ อุณหภูมิห้อง ใช้เครื่องซอร์ซมิเตอร์ Keithley 2400 เป็นแหล่งจ่ายศักย์ไฟฟ้า (V) และวัดความหนาแน่นกระแสไฟฟ้า (I) วัดความสว่างของแสง (L) โดยโฟโตไดโอด Newport 818-UV/CM และเครื่องเพาเวอร์มิเตอร์ Newport 1835C วัดการเรืองแสงแบบอิเล็กโทรลูมิเนสเซนซ์ (EL) โดยมัตติชาแนลสเปกโถร์มิเตอร์ Ocean Optics USB4000-FL ฟิล์มบาง โมเลกุลสารเรืองแสงบนกระชวงเคลือบ อิเล็กโทรด ITO ขนาด 25 mm x 25 mm ตามวิธีการที่กล่าวไว้ข้างต้น จากนั้นทำการกัดชั้นบางของ อิเล็กโทรด ITO บนกระชวงให้มีข้อความว่า SciUBU กลับด้าน โดยใช้สารละลายกรดผสมระหว่างไนตริกเข้มข้นและไฮโดรคลอริกเข้มข้น แล้วทำความสะอาดอีกครั้งหนึ่ง ระหว่างๆ โมเลกุลสารอินทรีย์และ โลหะอะลูมิเนียม ภายใต้สุญญากาศประมาณ 5×10^{-5} mbar โดยใช้เครื่องเทอร์มอลอิวาโนเปรเตอร์ (Thermal evaporator ES280, ANS Technology) ตัวอย่างของไดโอดเรืองแสงสารอินทรีย์ต้นแบบที่ เครื่องได้





รูปที่ 24 ตัวอย่างต้นแบบไดโอดเรืองแสงสารอินทรีย์สีน้ำเงินและสีเขียว แสดงข้อความ Sci UBU

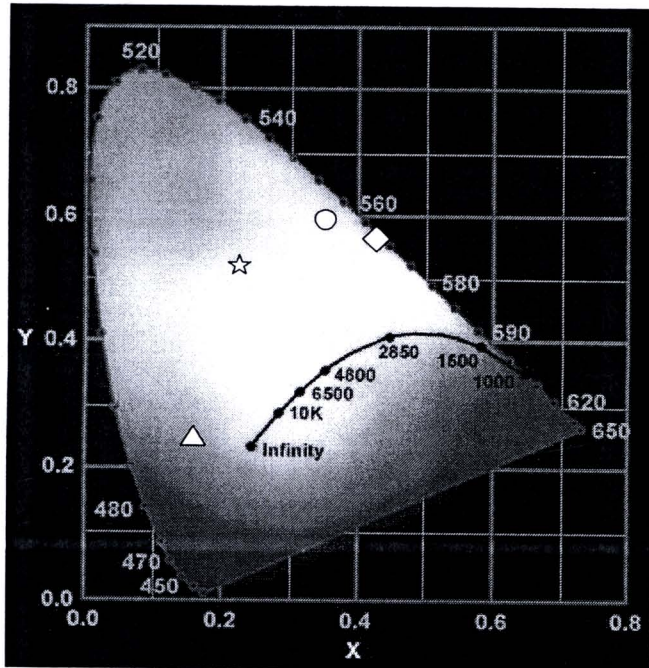
スペクトราโฟโตลูมิเนสเซนต์ของฟิล์มบาง (solid state photoluminescence) โนเลกุลสารเรืองแสง และスペクトราอิเล็กโทรลูมิเนสเซนต์ (electroluminescence) ของไดโอดเรืองแสงสารอินทรีย์ CFTn ที่มีโนเลกุลสารเป้าหมาย 5, 8, 9 และ 12 เป็นสารเรืองแสง แสดงดังรูปที่ 25 พบว่าスペกตรากีดการเดือนไปพิศทางที่มีความยาวคลื่นสูงขึ้น หรือเรียกว่าการเกิด red-shift เมื่อจำนวนหมู่ไธโอฟินในโนเลกุลสารอินทรีย์เรืองแสงเพิ่มขึ้น เนื่องจากเกิดคอนจูกे�ตของพันธะไฟภายในโนเลกุลของสารอินทรีย์เพิ่มขึ้นเมื่อมีจำนวนหมู่ไธโอฟินเพิ่มขึ้น รูปที่ 26 แสดงกราฟความสัมพันธ์ระหว่างความหนาแน่นกระแสงไฟฟ้า (I) และความสว่างของแสง (L) เทียบกับศักยไฟฟ้า (V) ของไดโอดเรืองแสงสารอินทรีย์ที่มีโนเลกุล 5, 8, 9 และ 12 เป็นสารเรืองแสง และประสิทธิภาพของไดโอดเรืองแสงสารอินทรีย์สรุปดังตารางที่ 3 ไดโอดเรืองแสงสารอินทรีย์ CFT1 ให้แสงสีน้ำเงิน มีพิกัดโคออร์ดิเนต (CIE chromaticity coordinates) CIE (0.16, 0.25) เรืองแสงสูงสุดที่ความคลื่น 444 nm และ 478 nm ซึ่งตรงกับスペกตรัมการเรืองแสงของฟิล์มบาง โนเลกุล 5 (รูปที่ 25 (a)) พบว่าスペกตรัมอิเล็กโทรลูมิเนสเซน์มีลักษณะเป็นบัวมีศูนย์กลางที่ช่วงความคลื่น 500 nm เกิดจากการเรืองแสงของเอ็กซิมเพลกซ์ (exciplex emission) ซึ่งมักพบในการเรืองแสงแบบอิเล็กโทรลูมิเนสเซนต์ ไดโอดเรืองแสงสารอินทรีย์ CFT2 เรืองแสงสีเขียวแกมน้ำเงิน มีพิกัดโคออร์ดิเนต CIE (0.24, 0.51) อิเล็กโทรลูมิเนสเซนต์スペกตรัมมีลักษณะเหมือนของスペกตรัมการเรืองแสงของฟิล์มบาง โนเลกุล 8 ยกเว้นมีบ่า (shoulder) ของスペกตรัมที่เกิดจากการคายแสงของเอ็กซิมเพลกที่ช่วงความยาวคลื่นประมาณ 550 nm ไดโอดเรืองแสงสารอินทรีย์ CFT3 เรืองแสงสีเขียวแกมเหลือง มีพิกัดโคออร์ดิเนต CIE (0.35, 0.59) และไดโอดเรืองแสงสารอินทรีย์ CFT4 เรืองแสงสีเหลือง มีพิกัดโคออร์ดิเนต CIE (0.43, 0.54) มีพิการคายแสงของเอ็กซิมเพลกที่ช่วงความยาวคลื่นประมาณ 600 nm และ 630 nm สำหรับไดโอดเรืองแสงสารอินทรีย์ CFT3 และ CFT4 ตามลำดับ (รูปที่ 26)



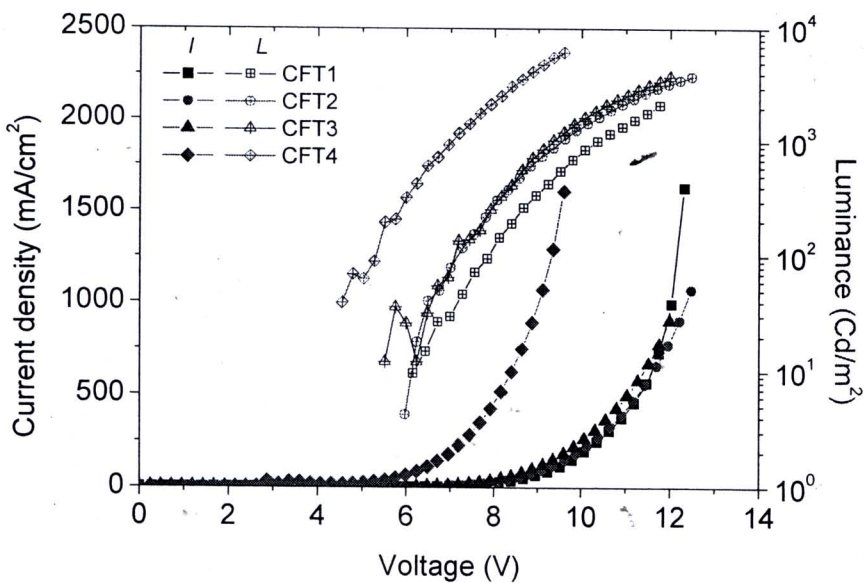
รูปที่ 25 สเปกตร้าโฟโตลูมิเนสเซนต์ฟิล์มบางของ โนเมเลกุลสารเรืองแสง และอิเล็กโตรลูมิเนสเซนต์ ที่ศักย์ไฟฟ้า 10 V ของไดโอดเรืองแสงสารอินทรีย์ (a) 5 (b) 8 (c) 9 และ (d) 12

ไดโอดเรืองแสงสารอินทรีย์ CFT1 และ CFT2 ซึ่งมีโนเมเลกุลเป้าหมาย 5 และ 8 เป็นสารเรืองแสงตามลำดับ จะเริ่มสว่าง วัดที่ความสว่าง 1 cd/m^2 (เมื่อให้ศักย์ไฟฟ้า V_{onset} ประมาณ 6 V) ส่วนไดโอดเรืองแสงสารอินทรีย์ CFT3 และ CFT4 มีค่า V_{onset} ประมาณ 5 V และ 4 V ตามลำดับ ไดโอดเรืองแสงสารอินทรีย์ CFT3 และ CFT4 ซึ่งมีโนเมเลกุล 9 และ 12 ตามลำดับ เป็นสารเรืองแสง สามารถเรืองแสงแบบอิเล็กโตรลูมิเนสเซนต์ได้ที่ศักย์ไฟฟ้าต่ำ เพราะว่าเมื่อเปรียบเทียบระดับพลังงานของชั้น HOMO โนเมเลกุล 9 (5.22 eV) และ 12 (5.15 eV) มีค่าไกล์เคียงกับโนเมเลกุล NPB (5.20 eV) มากกว่า โนเมเลกุล 5 (5.35 eV) และ 8 (5.33 eV) (ดูรูปที่ 20) ทำให้การส่งผ่านประจุบวกจากโนเมเลกุล NPB มากับ โนเมเลกุลสารเรืองแสง 9 และ 12 สามารถเกิดได้จ่ายกว่า เมื่อเปรียบเทียบความสว่างของไดโอดเรืองแสง

สารอินทรีย์เมื่อให้ศักย์ไฟฟ้าขนาด 9 V พบร่วมกับไคโอดเรืองแสงสารอินทรีย์ **CFT4** จะให้ความสว่างมากที่สุด เท่ากับ 4488 cd/m^2 รองลงมาคือ **CFT3** (783 cd/m^2), **CFT2** (699 cd/m^2) และ **CFT1** (354 cd/m^2)



รูปที่ 26 แสดง CIE chromaticity coordinates ของไคโอดเรืองแสงสารอินทรีย์
CFT1 (\triangle); CFT2 (\star); CFT3 (\circ) และ CFT4 (\diamond)



รูปที่ 27 กราฟความสัมพันธ์ระหว่าง (a) ความหนาแน่นกระแสไฟฟ้า (I) และ (b) ความสว่างของแสง
(L) เทียบกับศักย์ไฟฟ้า (V) ของไคโอดเรืองแสงสารอินทรีย์ **CFTn**

ตารางที่ 3 ประสิทธิภาพของไดโอดเรืองแสงสารอินทรีย์ CFTn*

Device	EL	λ_{em} (nm)	CIE(x, y)	V_{onset} (V) ^a	L_{max} (cd/m ²) ^b	ลักษณะการเรืองแสง
CFT1	5	444, 478	(0.16, 0.25)	6	354	น้ำเงิน
CFT2	8	516 ,486	(0.23, 0.51)	6	699	เขียวแกมน้ำเงิน
CFT3	9	548 ,513	(0.35, 0.59)	5	783	เขียวแกมน้ำเงิน
CFT4	12	574 ,541	(0.43, 0.54)	4	4488	เหลือง

*โครงสร้าง: ITO/NPB(20 nm)/EL(20 nm)/BCP(5 nm)/Alq3(10 nm)/LiF(1.5 nm)/Al (200 nm); ^aวัดที่ความสว่าง 1 cd/m²; ^bวัดที่ศักย์ไฟฟ้าเท่ากับ 9 โวลต์

